

## (12) 特許協力条約に基づいて公開された国際出願

(19) 世界知的所有権機関

国際事務局

(43) 国際公開日

2019年6月20日(20.06.2019)



(10) 国際公開番号

WO 2019/116567 A1

(51) 国際特許分類:

*G02B 13/00* (2006.01)    *G02B 13/04* (2006.01)  
*G02B 13/02* (2006.01)    *G02B 15/20* (2006.01)

(21) 国際出願番号 :

PCT/JP2017/045187

(22) 国際出願日 : 2017年12月15日(15.12.2017)

(25) 国際出願の言語 : 日本語

(26) 国際公開の言語 : 日本語

(71) 出願人: 株式会社ニコン (NIKON CORPORATION) [JP/JP]; 〒1086290 東京都港区港南二丁目15番3号 Tokyo (JP).

(72) 発明者: 山下 雅史 (YAMASHITA, Masashi); 〒1086290 東京都港区港南二丁目15番3号 株式会社ニコン内 Tokyo (JP). 伊藤智希 (ITO, Tomoki); 〒1086290 東京都港区港南二丁目15番3号 株式会社ニコン内 Tokyo (JP). 篠本洋 (YABUMOTO, Hiroshi); 〒1086290 東京都港区港南二丁目15番3号 株式会社ニコン内

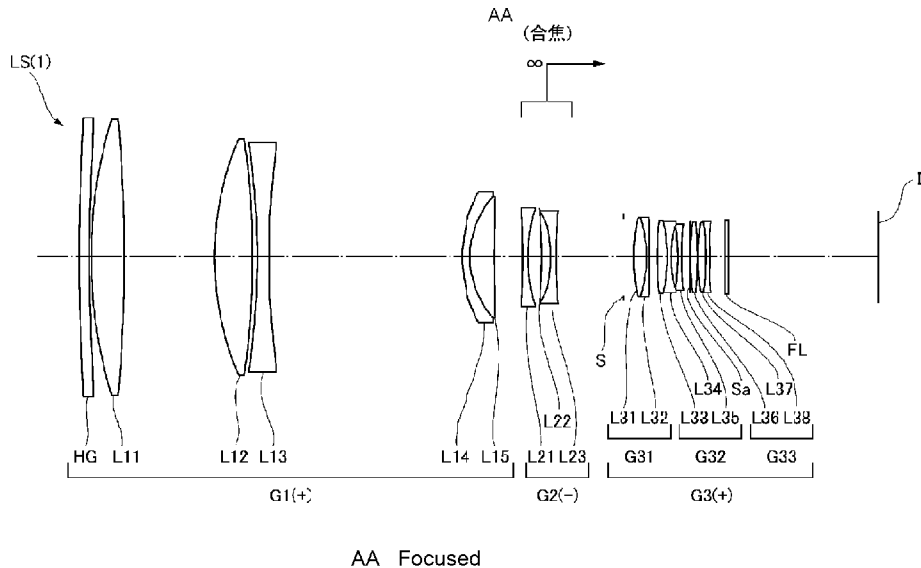
Tokyo (JP). 山本 浩史 (YAMAMOTO, Hiroshi); 〒1086290 東京都港区港南二丁目15番3号 株式会社ニコン内 Tokyo (JP). 三輪 哲史 (MIWA, Satoshi); 〒1086290 東京都港区港南二丁目15番3号 株式会社ニコン内 Tokyo (JP). 坪野谷 啓介 (TSUBONOYA, Keisuke); 〒1086290 東京都港区港南二丁目15番3号 株式会社ニコン内 Tokyo (JP). 横田 歩 (MAKIDA, Ayumu); 〒1086290 東京都港区港南二丁目15番3号 株式会社ニコン内 Tokyo (JP). 上原 健 (UEHARA, Takeru); 〒1086290 東京都港区港南二丁目15番3号 株式会社ニコン内 Tokyo (JP).

(74) 代理人: 大西 正悟, 外 (OHNISHI, Shogo et al.); 〒1700013 東京都豊島区東池袋3-20-3、東池袋SSビル1階 大西国際特許事務所 Tokyo (JP).

(81) 指定国(表示のない限り、全ての種類の国内保護が可能): AE, AG, AL, AM, AO, AT, AU, AZ, BA, BB, BG, BH, BN, BR, BW, BY, BZ, CA, CH,

(54) Title: OPTICAL SYSTEM, OPTICAL EQUIPMENT, AND METHOD FOR MANUFACTURING OPTICAL SYSTEM

(54) 発明の名称: 光学系、光学機器、および光学系の製造方法



AA Focused

(57) Abstract: An optical system (LS) includes lenses (L22, L33) satisfying the following conditional expressions:  $ndLZ + (0.01425 \times vdLZ) < 2.12$ ; and  $vdLZ < 35.0$ , where  $ndLZ$  signifies the refractive index of the lenses at the d line, and  $vdLZ$  signifies the Abbe number of the lenses at the d line.(57) 要約: 光学系 (LS) は、以下の条件式を満足するレンズ (L22, L33) を有している。  
 $ndLZ + (0.01425 \times vdLZ) < 2.12$   $vdLZ < 35.0$  但し、 $ndLZ$ : レンズのd線に対する屈折率  
 $vdlZ$ : レンズのd線を基準とするアッペ数

[続葉有]



CL, CN, CO, CR, CU, CZ, DE, DJ, DK, DM, DO, DZ, EC, EE, EG, ES, FI, GB, GD, GE, GH, GM, GT, HN, HR, HU, ID, IL, IN, IR, IS, JO, JP, KE, KG, KH, KN, KP, KR, KW, KZ, LA, LC, LK, LR, LS, LU, LY, MA, MD, ME, MG, MK, MN, MW, MX, MY, MZ, NA, NG, NI, NO, NZ, OM, PA, PE, PG, PH, PL, PT, QA, RO, RS, RU, RW, SA, SC, SD, SE, SG, SK, SL, SM, ST, SV, SY, TH, TJ, TM, TN, TR, TT, TZ, UA, UG, US, UZ, VC, VN, ZA, ZM, ZW.

- (84) 指定国(表示のない限り、全ての種類の広域保護が可能): ARIPO (BW, GH, GM, KE, LR, LS, MW, MZ, NA, RW, SD, SL, ST, SZ, TZ, UG, ZM, ZW), ユーラシア (AM, AZ, BY, KG, KZ, RU, TJ, TM), ヨーロッパ (AL, AT, BE, BG, CH, CY, CZ, DE, DK, EE, ES, FI, FR, GB, GR, HR, HU, IE, IS, IT, LT, LU, LV, MC, MK, MT, NL, NO, PL, PT, RO, RS, SE, SI, SK, SM, TR), OAPI (BF, BJ, CF, CG, CI, CM, GA, GN, GQ, GW, KM, ML, MR, NE, SN, TD, TG).

添付公開書類 :

- 国際調査報告（条約第21条(3)）

## 明細書

### 発明の名称：光学系、光学機器、および光学系の製造方法

#### 技術分野

[0001] 本発明は、光学系、光学機器、および光学系の製造方法に関する。

#### 背景技術

[0002] 近年、デジタルカメラやビデオカメラ等の撮像装置に用いられる撮像素子は、高画素化が進んでいる。このような撮像素子を用いた撮像装置に設けられる撮影レンズは、球面収差、コマ収差等の基準収差（単一波長の収差）に加え、白色光源において像の色にじみがないように色収差も良好に補正された、高い解像力を有するレンズであることが望まれている。特に、色収差の補正においては、1次の色消しに加え、2次スペクトルが良好に補正されていることが望ましい。色収差の補正の手段として、例えば、異常分散性を有する樹脂材料を用いる方法（例えば、特許文献1を参照）が知られている。このように、近年の撮像素子の高画素化に伴い、諸収差が良好に補正された撮影レンズが望まれている。

#### 先行技術文献

#### 特許文献

[0003] 特許文献1：特開2016-194609号公報

#### 発明の概要

[0004] 第1の態様に係る光学系は、以下の条件式を満足するレンズを有する。

$$n_{dLZ} + (0.01425 \times v_{dLZ}) < 2.12$$

$$v_{dLZ} < 35.0$$

但し、 $n_{dLZ}$ ：前記レンズのd線に対する屈折率

$v_{dLZ}$ ：前記レンズのd線を基準とするアッベ数

[0005] 第2の態様に係る光学機器は、上記光学系を備えて構成される。

[0006] 第3の態様に係る光学系の製造方法は、以下の条件式を満足するレンズを有するように、レンズ鏡筒内に各レンズを配置する。

$$n_d L_Z + (0.01425 \times v_d L_Z) < 2.12$$

$$v_d L_Z < 35.0$$

但し、 $n_d L_Z$ ：前記レンズの d 線に対する屈折率

$v_d L_Z$ ：前記レンズの d 線を基準とするアッベ数

### 図面の簡単な説明

[0007] [図1]第1実施例に係る光学系の無限遠合焦状態におけるレンズ構成図である。

。

[図2]第1実施例に係る光学系の無限遠合焦状態における諸収差図である。

[図3]第2実施例に係る光学系の無限遠合焦状態におけるレンズ構成図である。

。

[図4]図4 (A)、図4 (B)、および図4 (C) はそれぞれ、第2実施例に係る光学系の広角端状態、中間焦点距離状態、望遠端状態における無限遠合焦時の諸収差図である。

[図5]第3実施例に係る光学系の無限遠合焦状態におけるレンズ構成図である。

。

[図6]第3実施例に係る光学系の無限遠合焦状態における諸収差図である。

[図7]第4実施例に係る光学系の無限遠合焦状態におけるレンズ構成図である。

。

[図8]図8 (A)、図8 (B)、および図8 (C) はそれぞれ、第4実施例に係る光学系の広角端状態、中間焦点距離状態、望遠端状態における無限遠合焦時の諸収差図である。

[図9]第5実施例に係る光学系の無限遠合焦状態におけるレンズ構成図である。

。

[図10]図10 (A)、図10 (B)、および図10 (C) はそれぞれ、第5実施例に係る光学系の広角端状態、中間焦点距離状態、望遠端状態における無限遠合焦時の諸収差図である。

[図11]第6実施例に係る光学系の無限遠合焦状態におけるレンズ構成図である。

[図12]第6実施例に係る光学系の無限遠合焦状態における諸収差図である。

[図13]第7実施例に係る光学系の無限遠合焦状態におけるレンズ構成図である。

[図14]第7実施例に係る光学系の無限遠合焦状態における諸収差図である。

[図15]本実施形態に係る光学系を備えたカメラの構成を示す図である。

[図16]本実施形態に係る光学系の製造方法を示すフローチャートである。

### 発明を実施するための形態

[0008] 以下、本実施形態に係る光学系および光学機器について図を参照して説明する。まず、本実施形態に係る光学系を備えたカメラ（光学機器）を図15に基づいて説明する。このカメラ1は、図15に示すように撮影レンズ2として本実施形態に係る光学系を備えたデジタルカメラである。カメラ1において、不図示の物体（被写体）からの光は、撮影レンズ2で集光されて、撮像素子3へ到達する。これにより被写体からの光は、当該撮像素子3によって撮像されて、被写体画像として不図示のメモリに記録される。このようにして、撮影者はカメラ1による被写体の撮影を行うことができる。なお、このカメラは、ミラーレスカメラでも、クイックリターンミラーを有した一眼レフタイプのカメラであっても良い。

[0009] 本実施形態に係る光学系（撮影レンズ）L Sの一例としての光学系L S（1）は、図1に示すように、以下の条件式（1）～（2）を満足するレンズ（L 22, L 33）を有している。本実施形態においては、他のレンズと区別するため、条件式（1）～（2）を満足するレンズを特定レンズと称する場合がある。

$$n_d L Z + (0.01425 \times v_d L Z) < 2.12 \quad \dots \quad (1)$$

$$v_d L Z < 35.0 \quad \dots \quad (2)$$

但し、 $n_d L Z$ ：特定レンズのd線に対する屈折率

$v_d L Z$ ：特定レンズのd線を基準とするアッベ数

[0011] 本実施形態によれば、色収差の補正において、1次の色消しに加え、2次スペクトルが良好に補正された光学系、およびこの光学系を備えた光学機器

を得ることが可能になる。本実施形態に係る光学系LSは、図3に示す光学系LS(2)でも良く、図5に示す光学系LS(3)でも良く、図7に示す光学系LS(4)でも良い。また、本実施形態に係る光学系LSは、図9に示す光学系LS(5)でも良く、図11に示す光学系LS(6)でも良く、図13に示す光学系LS(7)でも良い。

- [0012] 条件式(1)は、特定レンズのd線に対する屈折率とd線を基準とするアッベ数の適切な関係を規定するものである。条件式(1)を満足することで、球面収差、コマ収差等の基準収差の補正と、1次の色収差の補正(色消し)を良好に行うことができる。
- [0013] 条件式(1)の対応値が上限値を上回ると、例えばペツツバール和が小さくなることで、像面湾曲の補正が困難になるため、好ましくない。条件式(1)の上限値を2.11に設定することで、本実施形態の効果をより確実なものとすることができます。本実施形態の効果をさらに確実にするために、条件式(1)の上限値を、2.10、2.09、2.08、2.07、さらに2.06とすることが好ましい。
- [0014] 条件式(2)は、特定レンズのd線を基準とするアッベ数の適切な範囲を規定するものである。条件式(2)を満足することで、球面収差、コマ収差等の基準収差の補正と、1次の色収差の補正(色消し)を良好に行うことができる。
- [0015] 条件式(2)の対応値が上限値を上回ると、例えば、開口絞りSより物体側もしくは像側の部分群において軸上色収差の補正が困難となるため、好ましくない。条件式(2)の上限値を32.5に設定することで、本実施形態の効果をより確実なものとすることができます。本実施形態の効果をさらに確実にするために、条件式(2)の上限値を、32.0、31.5、31.0、30.5、30.0、さらに29.5とすることが好ましい。
- [0016] 本実施形態の光学系において、特定レンズは、以下の条件式(3)を満足することが望ましい。

$$0.702 < \theta_g F L Z + (0.00316 \times v_d L Z) \dots \quad (3)$$

但し、 $\theta_{gFLZ}$ ：特定レンズの部分分散比であり、特定レンズのg線に対する屈折率を $n_{gLZ}$ とし、特定レンズのF線に対する屈折率を $n_{FLZ}$ とし、特定レンズのC線に対する屈折率を $n_{CLZ}$ としたとき、次式で定義される

$$\theta_{gFLZ} = (n_{gLZ} - n_{FLZ}) / (n_{FLZ} - n_{CLZ})$$

なお、特定レンズのd線を基準とするアッベ数 $\nu_{dLZ}$ は、次式で定義される

$$\nu_{dLZ} = (n_{dLZ} - 1) / (n_{FLZ} - n_{CLZ})$$

- [0017] 条件式(3)は、特定レンズの異常分散性を適切に規定するものである。条件式(3)を満足することで、色収差の補正において、1次の色消しに加え、2次スペクトルを良好に補正することができる。
- [0018] 条件式(3)の対応値が下限値を下回ると、特定レンズの異常分散性が小さくなるため、色収差の補正が困難となる。条件式(3)の下限値を0.704に設定することで、本実施形態の効果をより確実なものとすることができます。本実施形態の効果をさらに確実にするために、条件式(3)の下限値を、0.708、0.710、0.712、さらに0.715とすることが好ましい。

- [0019] 本実施形態の光学系において、特定レンズは、以下の条件式(2-1)を満足してもよい。

$$18.0 < \nu_{dLZ} < 35.0 \quad \dots \quad (2-1)$$

- [0020] 条件式(2-1)は、条件式(2)と同様の式であり、条件式(2-1)を満足することで、球面収差、コマ収差等の基準収差の補正と、1次の色収差の補正(色消し)を良好に行うことができる。条件式(2-1)の上限値を32.5に設定することで、本実施形態の効果をより確実なものとすることができます。本実施形態の効果をさらに確実にするために、条件式(2-1)の上限値を、32.0、31.5、31.0、30.5、30.0、さらに29.5とすることが好ましい。一方、条件式(2-1)の下限値を20.0に設定することで、本実施形態の効果をより確実なものとすることができます。

きる。本実施形態の効果をさらに確実にするために、条件式（2－1）の下限値を、23.0、23.5、24.0、24.5、25.0、25.5、26.0、26.5、27.0、27.5、さらに27.7とすることが好ましい。

- [0021] 本実施形態の光学系において、特定レンズは、以下の条件式（4）を満足することが望ましい。

$$1.83 < n_d L_Z + (0.00787 \times v_d L_Z) \dots (4)$$

- [0022] 条件式（4）は、特定レンズのd線に対する屈折率とd線を基準とするアッベ数の適切な関係を規定するものである。条件式（4）を満足することで、球面収差、コマ収差等の基準収差の補正と、1次の色収差の補正（色消し）を良好に行うことができる。

- [0023] 条件式（4）の対応値が下限値を下回ると、例えば特定レンズの屈折率が小さくなることで、基準収差、特に球面収差の補正が困難になるため、好ましくない。条件式（4）の下限値を1.84に設定することで、本実施形態の効果をより確実なものとすることができます。本実施形態の効果をさらに確実にするために、条件式（4）の下限値を、1.85、さらに1.86とすることが好ましい。

- [0024] 本実施形態の光学系において、特定レンズは、以下の条件式（5）を満足することが望ましい。

$$1.55 < n_d L_Z \dots (5)$$

- [0025] 条件式（5）は、特定レンズのd線に対する屈折率の適切な範囲を規定するものである。条件式（5）を満足することで、コマ収差、色収差（軸状色収差および倍率色収差）等の諸収差を良好に補正することができる。

- [0026] 条件式（5）の対応値が下限値を下回ると、コマ収差、色収差（軸状色収差および倍率色収差）等の諸収差を補正することが困難になり、好ましくない。条件式（5）の下限値を1.58に設定することで、本実施形態の効果をより確実なものとすることができます。本実施形態の効果をさらに確実にするために、条件式（5）の下限値を、1.60、1.62、1.65、1.

68、1. 70、さらに1. 72とすることが好ましい。

- [0027] 本実施形態の光学系において、特定レンズは、以下の条件式(6)を満足することが望ましい。

$$D_L Z > 0.80 \quad \dots \quad (6)$$

但し、 $D_L Z$ ：特定レンズの光軸上の厚さ [mm]

- [0028] 条件式(6)は、特定レンズの光軸上の厚さの適切な範囲を規定するものである。条件式(6)を満足することで、コマ収差、色収差（軸状色収差および倍率色収差）等の諸収差を良好に補正することができる。

- [0029] 条件式(6)の対応値が下限値を下回ると、コマ収差、色収差（軸状色収差および倍率色収差）等の諸収差を補正することが困難になり、好ましくない。条件式(6)の下限値を0.90に設定することで、本実施形態の効果をより確実なものとすることができます。本実施形態の効果をさらに確実にするために、条件式(6)の下限値を、1.00、1.10、1.20、さらに1.30とすることが好ましい。

- [0030] 本実施形態の光学系において、特定レンズは、以下の条件式(5-1)および条件式(7)を満足することが望ましい。

$$n_d L_Z < 1.63 \quad \dots \quad (5-1)$$

$$n_d L_Z - (0.040 \times v_d L_Z - 2.470) \times v_d L_Z < 39.8 \\ 09 \quad \dots \quad (7)$$

- [0031] 条件式(5-1)は、条件式(5)と同様の式であり、条件式(5-1)を満足することで、コマ収差、色収差（軸状色収差および倍率色収差）等の諸収差を良好に補正することができる。条件式(5-1)の上限値を1.62に設定することで、本実施形態の効果をより確実なものとすることができます。

- [0032] 条件式(7)は、特定レンズのd線に対する屈折率とd線を基準とするアッベ数の適切な関係を規定するものである。条件式(7)を満足することで、球面収差、コマ収差等の基準収差の補正と、1次の色収差の補正（色消し）を良好に行うことができる。

[0033] 条件式(7)の対応値が上限値を上回ると、例えばペツツバール和が小さくなることで、像面湾曲の補正が困難になるため、好ましくない。条件式(7)の上限値を39.800に設定することで、本実施形態の効果をより確実なものとすることができます。本実施形態の効果をさらに確実にするために、条件式(7)の上限値を、39.500、39.000、38.500、38.000、37.500、さらに36.800とすることが好ましい。

[0034] 本実施形態の光学系において、特定レンズは、以下の条件式(8)を満足することが望ましい。

$$ndLZ - (0.020 \times vdLZ - 1.080) \times vdLZ < 16.260 \dots (8)$$

[0035] 条件式(8)は、特定レンズのd線に対する屈折率とd線を基準とするアッベ数の適切な関係を規定するものである。条件式(8)を満足することで、球面収差、コマ収差等の基準収差の補正と、1次の色収差の補正(色消し)を良好に行うことができる。

[0036] 条件式(8)の対応値が上限値を上回ると、例えばペツツバール和が小さくなることで、像面湾曲の補正が困難になるため、好ましくない。条件式(8)の上限値を16.240に設定することで、本実施形態の効果をより確実なものとすることができます。本実施形態の効果をさらに確実にするために、条件式(8)の上限値を、16.000、15.800、15.500、15.300、15.000、14.800、14.500、14.000、さらに13.500とすることが好ましい。

[0037] 本実施形態の光学系において、特定レンズは、以下の条件式(2-2)を満足してもよい。

$$18.0 < vdLZ < 27.0 \dots (2-2)$$

[0038] 条件式(2-2)は、条件式(2)と同様の式であり、条件式(2-2)を満足することで、球面収差、コマ収差等の基準収差の補正と、1次の色収差の補正(色消し)を良好に行うことができる。条件式(2-2)の上限値を26.6に設定することで、本実施形態の効果をより確実なものとすること

とができる。本実施形態の効果をさらに確実にするために、条件式（2－2）の上限値を、26.3、26.0、25.7、さらに25.4とすることが好ましい。一方、条件式（2－2）の下限値を21.0に設定することで、本実施形態の効果をより確実なものとすることができます。本実施形態の効果をさらに確実にするために、条件式（2－2）の下限値を、21.5、22.0、22.5、さらに23.0とすることが好ましい。

- [0039] 本実施形態の光学系において、特定レンズは、以下の条件式（5－2）を満足してもよい。

$$1.700 < n_d L_Z < 1.850 \quad \dots \quad (5-2)$$

- [0040] 条件式（5－2）は、条件式（5）と同様の式であり、条件式（5－2）を満足することで、コマ収差、色収差（軸状色収差および倍率色収差）等の諸収差を良好に補正することができる。条件式（5－2）の上限値を1.830に設定することで、本実施形態の効果をより確実なものとすることができます。本実施形態の効果をさらに確実にするために、条件式（5－2）の上限値を、1.810、1.790、1.770、さらに1.764とすることが好ましい。一方、条件式（5－2）の下限値を1.709に設定することで、本実施形態の効果をより確実なものとすることができます。本実施形態の効果をさらに確実にするために、条件式（5－2）の下限値を、1.718、1.727、1.736、さらに1.745とすることが好ましい。

- [0041] 本実施形態の光学系において、特定レンズは、以下の条件式（3－1）を満足してもよい。

$$0.702 < \theta_g F_L Z + (0.00316 \times v_d L_Z) < 0.900 \dots \quad (3-1)$$

- [0042] 条件式（3－1）は、条件式（3）と同様の式であり、条件式（3－1）を満足することで、色収差の補正において、1次の色消しに加え、2次スペクトルを良好に補正することができる。条件式（3－1）の上限値を0.850に設定することで、本実施形態の効果をより確実なものとすることができます。本実施形態の効果をさらに確実にするために、条件式（3－1）の上

限値を、0.800、さらに0.720とすることが好ましい。一方、条件式(3-1)の下限値を0.704に設定することで、本実施形態の効果をより確実なものとすることができます。本実施形態の効果をさらに確実にするために、条件式(3-1)の下限値を0.706とすることが好ましい。

- [0043] 本実施形態の光学系において、特定レンズは、以下の条件式(5-3)を満足してもよい。

$$1.550 < n_d L_Z < 1.700 \quad \dots \quad (5-3)$$

- [0044] 条件式(5-3)は、条件式(5)と同様の式であり、条件式(5-3)を満足することで、コマ収差、色収差(軸状色収差および倍率色収差)等の諸収差を良好に補正することができる。条件式(5-3)の上限値を1.699に設定することで、本実施形態の効果をより確実なものとすることができます。本実施形態の効果をさらに確実にするために、条件式(5-3)の上限値を、1.698、1.697、1.696、さらに1.695とすることが好ましい。一方、条件式(5-3)の下限値を1.560に設定することで、本実施形態の効果をより確実なものとすることができます。本実施形態の効果をさらに確実にするために、条件式(5-3)の下限値を、1.570、1.580、1.590、さらに1.600とすることが好ましい。

- [0045] 本実施形態の光学系において、特定レンズは、以下の条件式(2-3)を満足してもよい。

$$27.0 < \nu_d L_Z < 35.0 \quad \dots \quad (2-3)$$

- [0046] 条件式(2-3)は、条件式(2)と同様の式であり、条件式(2-3)を満足することで、球面収差、コマ収差等の基準収差の補正と、1次の色収差の補正(色消し)を良好に行うことができる。条件式(2-3)の上限値を34.5に設定することで、本実施形態の効果をより確実なものとすることができます。本実施形態の効果をさらに確実にするために、条件式(2-3)の上限値を、34.0、33.5、さらに32.9とすることが好ましい。一方、条件式(2-3)の下限値を28.0に設定することで、本実施形態の効果をより確実なものとすることができます。本実施形態の効果をさらに

確実にするために、条件式（2－3）の下限値を、29.0、30.0、さらに31.0とすることが好ましい。

- [0047] 本実施形態の光学系において、特定レンズは、以下の条件式（5－4）を満足してもよい。

$$1.550 < n_d L_Z < 1.700 \quad \dots \quad (5-4)$$

- [0048] 条件式（5－4）は、条件式（5）と同様の式であり、条件式（5－4）を満足することで、コマ収差、色収差（軸状色収差および倍率色収差）等の諸収差を良好に補正することができる。条件式（5－4）の上限値を1.675に設定することで、本実施形態の効果をより確実なものとすることができます。本実施形態の効果をさらに確実にするために、条件式（5－4）の上限値を、1.660、1.645、1.630、さらに1.615とすることが好ましい。一方、条件式（5－4）の下限値を1.560に設定することで、本実施形態の効果をより確実なものとすることができます。本実施形態の効果をさらに確実にするために、条件式（5－4）の下限値を、1.570、1.580、1.590、さらに1.600とすることが好ましい。

- [0049] 本実施形態の光学系において、特定レンズは、以下の条件式（2－4）を満足してもよい。

$$25.0 < \nu_d L_Z < 31.0 \quad \dots \quad (2-4)$$

- [0050] 条件式（2－4）は、条件式（2）と同様の式であり、条件式（2－4）を満足することで、球面収差、コマ収差等の基準収差の補正と、1次の色収差の補正（色消し）を良好に行うことができる。条件式（2－4）の上限値を30.9に設定することで、本実施形態の効果をより確実なものとすることができます。本実施形態の効果をさらに確実にするために、条件式（2－4）の上限値を30.8とすることが好ましい。一方、条件式（2－4）の下限値を25.6に設定することで、本実施形態の効果をより確実なものとすることができます。本実施形態の効果をさらに確実にするために、条件式（2－4）の下限値を、26.0、26.4、さらに26.8とすることが好ましい。

[0051] 本実施形態の光学系において、特定レンズは、以下の条件式（5－5）を満足してもよい。

$$1.550 < n_d L_Z < 1.800 \quad \dots \quad (5-5)$$

[0052] 条件式（5－5）は、条件式（5）と同様の式であり、条件式（5－5）を満足することで、コマ収差、色収差（軸状色収差および倍率色収差）等の諸収差を良好に補正することができる。条件式（5－5）の上限値を1.770に設定することで、本実施形態の効果をより確実なものとすることができます。本実施形態の効果をさらに確実にするために、条件式（5－5）の上限値を、1.745、1.720、さらに1.695とすることが好ましい。一方、条件式（5－5）の下限値を1.565に設定することで、本実施形態の効果をより確実なものとすることができます。本実施形態の効果をさらに確実にするために、条件式（5－5）の下限値を、1.590、1.605、さらに1.622とすることが好ましい。

[0053] 本実施形態の光学系は、最も物体側に配置された物体側レンズを有し、特定レンズが物体側レンズより像側に配置されることが望ましい。これにより、コマ収差、色収差（軸状色収差および倍率色収差）等の諸収差を良好に補正することができる。

[0054] 本実施形態の光学系は、最も像側に配置された像側レンズを有し、特定レンズが像側レンズより物体側に配置されることが望ましい。これにより、コマ収差、色収差（軸状色収差および倍率色収差）等の諸収差を良好に補正することができる。

[0055] 本実施形態の光学系において、特定レンズは、ガラスレンズであることが望ましい。これにより、材料が樹脂である場合と比較して、経年変化に強く、温度変化等の環境変化に強いレンズを得ることができる。

[0056] 続いて、図16を参照しながら、上述の光学系LSの製造方法について概説する。まず、少なくとも1枚のレンズを配置する（ステップST1）。このとき、当該レンズのうち少なくとも1枚（特定レンズ）が上記条件式（1）～（2）等を満足するように、レンズ鏡筒内に各レンズを配置する（ステ

ップS T 2)。このような製造方法によれば、色収差の補正において、1次 の色消しに加え、2次スペクトルが良好に補正された光学系を製造するこ とが可能になる。

## 実施例

[0057] 以下、本実施形態の実施例に係る光学系LSを図面に基づいて説明する。

図1、図3、図5、図7、図9、図11、図13は、第1～第7実施例に係る光学系LS{LS(1)～LS(7)}の構成及び屈折力配分を示す断面 図である。第1実施例に係る光学系LS(1)、第3実施例に係る光学系LS(3)、および第6～第7実施例に係る光学系LS(6)～LS(7)の 断面図では、合焦レンズ群が無限遠から近距離物体に合焦する際の移動方向 を、「合焦」という文字とともに矢印で示している。第2実施例に係る光学 系LS(2)および第4～第5実施例に係る光学系LS(4)～LS(5) の断面図では、広角端状態(W)から望遠端状態(T)に変倍する際の各レ ナンズ群の光軸に沿った移動方向を矢印で示している。

[0058] これら図1、図3、図5、図7、図9、図11、図13において、各レン ズ群を符号Gと数字の組み合わせにより、各レンズを符号Lと数字の組み合 わせにより、それぞれ表している。この場合において、符号、数字の種類お よび数が大きくなつて煩雑化するのを防止するため、実施例毎にそれぞれ独 立して符号と数字の組み合わせを用いてレンズ群等を表している。このため 、実施例間で同一の符号と数字の組み合わせが用いられていても、同一の構 成であることを意味するものでは無い。

[0059] 以下に表1～表7を示すが、この内、表1は第1実施例、表2は第2実施 例、表3は第3実施例、表4は第4実施例、表5は第5実施例、表6は第6 実施例、表7は第7実施例における各諸元データを示す表である。各実施例 では収差特性の算出対象として、d線(波長 $\lambda = 587.6\text{ nm}$ )、g線( 波長 $\lambda = 435.8\text{ nm}$ )、C線(波長 $\lambda = 656.3\text{ nm}$ )、F線(波長 $\lambda = 486.1\text{ nm}$ )を選んでいる。

[0060] [全体諸元]の表において、fはレンズ全系の焦点距離、FNOはFナン

バー、 $2\omega$ は画角（単位は°（度）で、 $\omega$ が半画角である）、Yは像高を示す。TLは無限遠合焦時の光軸上でのレンズ最前面からレンズ最終面までの距離にBFを加えた距離を示し、BFは無限遠合焦時の光軸上でのレンズ最終面から像面Iまでの距離（バックフォーカス）を示す。なお、光学系が変倍光学系である場合、これらの値は、広角端（W）、中間焦点距離（M）、望遠端（T）の各変倍状態におけるそれについて示している。

[0061] [レンズ諸元] の表において、面番号は光線の進行する方向に沿った物体側からの光学面の順序を示し、Rは各光学面の曲率半径（曲率中心が像側に位置する面を正の値としている）、Dは各光学面から次の光学面（又は像面）までの光軸上の距離である面間隔、ndは光学部材の材料のd線に対する屈折率、vdは光学部材の材料のd線を基準とするアッペ数を、θgFは光学部材の材料の部分分散比をそれぞれ示す。曲率半径の「∞」は平面又は開口を、（絞りS）は開口絞りSをそれぞれ示す。空気の屈折率nd=1.00000の記載は省略している。光学面が非球面である場合には面番号に\*a印を付し、光学面が回折光学面である場合には面番号に\*b印を付して、曲率半径Rの欄には近軸曲率半径を示している。

[0062] 光学部材の材料のg線（波長λ=435.8nm）に対する屈折率をngとし、光学部材の材料のF線（波長λ=486.1nm）に対する屈折率をnFとし、光学部材の材料のC線（波長λ=656.3nm）に対する屈折率をnCとする。このとき、光学部材の材料の部分分散比θgFは次式（A）で定義される。

$$\theta g F = (n g - n F) / (n F - n C) \quad \cdots (A)$$

[0064] [非球面データ] の表には、[レンズ諸元] に示した非球面について、その形状を次式（B）で示す。X(y)は非球面の頂点における接平面から高さyにおける非球面上の位置までの光軸方向に沿った距離（ザグ量）を、Rは基準球面の曲率半径（近軸曲率半径）を、κは円錐定数を、Aiは第i次の非球面係数を示す。「E-n」は、「×10<sup>-n</sup>」を示す。例えば、1.234E-05=1.234×10<sup>-5</sup>である。なお、2次の非球面係数A2は0であり、その記載を

省略している。

[0065]  $X(y) = (y^2/R) / \{1 + (1 - \kappa \times y^2/R^2)^{1/2}\} + A_4 \times y^4 + A_6 \times y^6 + A_8 \times y^8 + A_{10} \times y^{10} \dots (B)$

[0066] 光学系が回折光学素子を有する場合、[回折光学面データ]において示す回折光学面の位相形状 $\phi$ は、次式(C)によって表わされる。

[0067]  $\phi(h, m) = \{2\pi / (m \times \lambda_0)\} \times (C_2 \times h^2 + C_4 \times h^4 + C_6 \times h^6 \dots)$   $\dots (C)$

但し、

$h$ ：光軸に対して垂直な方向の高さ、

$m$ ：回折光の回折次数、

$\lambda_0$ ：設計波長、

$C_i$ ：位相係数 ( $i = 2, 4, \dots$ )。

[0068] なお、任意の波長 $\lambda$ および任意の回折次数 $m$ における回折面の屈折力 $\phi_D$ は、最も低次の位相係数 $C_2$ を用いて、次式(D)のように表わすことができる。

[0069]  $\phi_D(h, m) = -2 \times C_2 \times m \times \lambda / \lambda_0 \dots (D)$

[0070] [回折光学面データ]の表には、[レンズ諸元]に示した回折光学面について、式(C)における設計波長 $\lambda_0$ 、回折次数 $m$ 、2次の位相係数 $C_2$ 、4次の位相係数 $C_4$ を示す。「E-n」は、[非球面データ]の表と同様、「×10<sup>-n</sup>」を示す。

[0071] 光学系が変倍光学系でない場合、[近距離撮影時可変間隔データ]として、 $f$ はレンズ全系の焦点距離を、 $\beta$ は撮影倍率をそれぞれ示す。また、[近距離撮影時可変間隔データ]の表には、各焦点距離および撮影倍率に対応する、[レンズ諸元]において面間隔が「可変」となっている面番号での面間隔を示す。

[0072] 光学系が変倍光学系である場合、[変倍撮影時可変間隔データ]として、広角端(W)、中間焦点距離(M)、望遠端(T)の各変倍状態に対応する、[レンズ諸元]において面間隔が「可変」となっている面番号での面間隔

を示す。また、[レンズ群データ]の表には、各レンズ群のそれぞれの始面(最も物体側の面)と焦点距離を示す。

- [0073] [条件式対応値]の表には、各条件式に対応する値を示す。
- [0074] 以下、全ての諸元値において、掲載されている焦点距離 $f$ 、曲率半径 $R$ 、面間隔 $D$ 、その他の長さ等は、特記のない場合一般に「mm」が使われるが、光学系は比例拡大又は比例縮小しても同等の光学性能が得られるので、これに限られるものではない。
- [0075] ここまで表の説明は全ての実施例において共通であり、以下の重複する説明は省略する。
- [0076] (第1実施例)  
第1実施例について、図1～図2および表1を用いて説明する。図1は、本実施形態の第1実施例に係る光学系の無限遠合焦状態におけるレンズ構成を示す図である。第1実施例に係る光学系LS(1)は、物体側から順に並んだ、正の屈折力を有する第1レンズ群G1と、負の屈折力を有する第2レンズ群G2と、正の屈折力を有する第3レンズ群G3とから構成されている。無限遠物体から近距離(有限距離)物体への合焦の際、第2レンズ群G2が光軸に沿って像側に移動する。開口絞りSは、第3レンズ群G3の物体側近傍に配設され、合焦の際、第1レンズ群G1および第3レンズ群G3と同様に、像面Iに対して固定される。各レンズ群記号に付けている符号(+)もしくは(−)は各レンズ群の屈折力を示し、このことは以下の全ての実施例でも同様である。
- [0077] 第1レンズ群G1は、物体側から順に並んだ、極めて弱い屈折力を有する保護ガラスHGと、両凸形状の正レンズL11と、両凸形状の正レンズL12と、両凹形状の負レンズL13と、物体側に凸面を向けた負メニスカスレンズL14および物体側に凸面を向けた正メニスカスレンズL15からなる接合レンズと、から構成される。本実施例では、第1レンズ群G1の正レンズL11が物体側レンズに該当する。
- [0078] 第2レンズ群G2は、物体側から順に並んだ、両凹形状の負レンズL21

と、物体側に凹面を向けた正メニスカスレンズL22および両凹形状の負レンズL23からなる接合レンズと、から構成される。本実施例では、第2レンズ群G2の正メニスカスレンズL22が条件式(1)～(2)等を満足するレンズ(特定レンズ)に該当する。

[0079] 第3レンズ群G3は、物体側から順に並んだ、正の屈折力を有する第1部分群G31と、負の屈折力を有する第2部分群G32と、正の屈折力を有する第3部分群G33とを有している。第1部分群G31は、物体側から順に並んだ、両凸形状の正レンズL31および物体側に凹面を向けた負メニスカスレンズL32からなる接合レンズ、から構成される。第2部分群G32は、物体側から順に並んだ、両凸形状の正レンズL33および両凹形状の負レンズL34からなる接合レンズと、両凹形状の負レンズL35と、から構成される。第3部分群G33は、物体側から順に並んだ、両凸形状の正レンズL36と、両凸形状の正レンズL37および両凹形状の負レンズL38からなる接合レンズと、から構成される。本実施例では、第3レンズ群G3の負レンズL38が像側レンズに該当し、第3レンズ群G3の正レンズL33が条件式(1)～(2)等を満足するレンズに該当する。第3レンズ群G3の第2部分群G33は、光軸と垂直な方向へ移動可能な防振レンズ群(部分群)を構成し、手ブレ等による結像位置の変位(像面I上の像ブレ)を補正する。なお、第3レンズ群G3における第2部分群G32と第3部分群G33との間に、固定絞り(フレアカット絞り)Saが配置される。

[0080] 第3レンズ群G3の像側に、像面Iが配置される。第3レンズ群G3と像面Iとの間には、抜き差し交換可能な光学フィルターFLが配設されている。抜き差し交換可能な光学フィルターFLとして、例えば、NCフィルター(ニュートラルカラーフィルター)や、カラーフィルター、偏光フィルター、NDフィルター(減光フィルター)、IRフィルター(赤外線カットフィルター)等が用いられる。

[0081] 以下の表1に、第1実施例に係る光学系の諸元の値を掲げる。

[0082] (表1)

## [全体諸元]

|       |         |
|-------|---------|
| f     | 392.000 |
| F N O | 2.881   |
| 2 ω   | 6.245   |
| Y     | 21.63   |
| T L   | 396.319 |
| B F   | 74.502  |

## [レンズ諸元]

| 面番号 | R          | D        | n d     | v d    | θ g F |
|-----|------------|----------|---------|--------|-------|
| 1   | 1200.37020 | 5.000    | 1.51680 | 63.88  | 0.536 |
| 2   | 1199.78950 | 1.000    |         |        |       |
| 3   | 250.71590  | 16.414   | 1.43385 | 95.25  | 0.540 |
| 4   | -766.97150 | 45.000   |         |        |       |
| 5   | 158.99440  | 18.720   | 1.43385 | 95.25  | 0.540 |
| 6   | -400.00000 | 2.261    |         |        |       |
| 7   | -377.29180 | 6.000    | 1.61266 | 44.46  | 0.564 |
| 8   | 461.79700  | 95.451   |         |        |       |
| 9   | 70.05760   | 4.000    | 1.79500 | 45.31  | 0.560 |
| 10  | 47.57190   | 11.944   | 1.49782 | 82.57  | 0.539 |
| 11  | 1223.84820 | D11 (可変) |         |        |       |
| 12  | -546.41280 | 2.500    | 1.80610 | 40.97  | 0.569 |
| 13  | 76.73180   | 6.996    |         |        |       |
| 14  | -241.81680 | 4.500    | 1.65940 | 26.87  | 0.633 |
| 15  | -56.62280  | 2.500    | 1.48749 | 70.32  | 0.529 |
| 16  | 234.80990  | D16 (可変) |         |        |       |
| 17  | ∞          | 5.100    |         | (絞り S) |       |
| 18  | 95.57020   | 6.000    | 1.75500 | 52.33  | 0.548 |
| 19  | -75.36620  | 1.800    | 1.80809 | 22.74  | 0.629 |

|    |            |       |         |       |       |
|----|------------|-------|---------|-------|-------|
| 20 | -757.80810 | 4.500 |         |       |       |
| 21 | 279.80870  | 4.700 | 1.74971 | 24.66 | 0.627 |
| 22 | -82.76070  | 1.800 | 1.59319 | 67.90 | 0.544 |
| 23 | 50.04470   | 3.390 |         |       |       |
| 24 | -226.07440 | 1.800 | 1.83481 | 42.73 | 0.565 |
| 25 | 105.63280  | 4.250 |         |       |       |
| 26 | $\infty$   | 0.250 |         |       |       |
| 27 | 105.07290  | 3.700 | 1.69680 | 55.52 | 0.543 |
| 28 | -158.46840 | 0.100 |         |       |       |
| 29 | 92.25180   | 4.000 | 1.72047 | 34.71 | 0.583 |
| 30 | -129.17240 | 1.800 | 1.92119 | 23.96 | 0.620 |
| 31 | 404.52160  | 7.500 |         |       |       |
| 32 | $\infty$   | 1.500 | 1.51680 | 63.88 | 0.536 |
| 33 | $\infty$   | BF    |         |       |       |

## [近距離撮影時可変間隔データ]

無限遠合焦状態 近距離合焦状態

$$f = 392.000 \quad \beta = -0.173$$

D11 13.847 29.047

D16 33.495 18.295

## [条件式対応値]

&lt;正メニスカスレンズL22&gt;

条件式(1)

$$ndLZ + (0.01425 \times vdLZ) = 2.042$$

条件式(2), (2-1), (2-2), (2-3), (2-4)

$$vdLZ = 26.87$$

条件式(3), (3-1)

$$\theta gFLZ + (0.00316 \times vdLZ) = 0.7179$$

条件式(4)

$$n_d L_Z + (0.00787 \times v_d L_Z) = 1.871$$

条件式(5), (5-1), (5-2), (5-3), (5-4), (5-5)

$$n_d L_Z = 1.65940$$

条件式(6)

$$D_L Z = 4.500$$

条件式(7)

$$n_d L_Z - (0.040 \times v_d L_Z - 2.470) \times v_d L_Z = 35.830$$

条件式(8)

$$n_d L_Z - (0.020 \times v_d L_Z - 1.080) \times v_d L_Z = 12.920$$

<正レンズL33>

条件式(1)

$$n_d L_Z + (0.01425 \times v_d L_Z) = 2.101$$

条件式(2), (2-1), (2-2), (2-3), (2-4)

$$v_d L_Z = 24.66$$

条件式(3), (3-1)

$$\theta_g F_L Z + (0.00316 \times v_d L_Z) = 0.7049$$

条件式(4)

$$n_d L_Z + (0.00787 \times v_d L_Z) = 1.944$$

条件式(5), (5-1), (5-2), (5-3), (5-4), (5-5)

$$n_d L_Z = 1.74971$$

条件式(6)

$$D_L Z = 4.700$$

条件式(7)

$$n_d L_Z - (0.040 \times v_d L_Z - 2.470) \times v_d L_Z = 34.836$$

条件式(8)

$$n_d L_Z - (0.020 \times v_d L_Z - 1.080) \times v_d L_Z = 12.721$$

[0083] 図2は、第1実施例に係る光学系の無限遠合焦状態における諸収差図である。各収差図において、FNOはFナンバー、Yは像高をそれぞれ示す。なお、球面収差図では最大口径に対応するFナンバーまたは開口数の値を示し、非点収差図および歪曲収差図では像高の最大値をそれぞれ示し、コマ収差図では各像高の値を示す。dはd線(波長 $\lambda = 587.6 \text{ nm}$ )、gはg線(波長 $\lambda = 435.8 \text{ nm}$ )、CはC線(波長 $\lambda = 656.3 \text{ nm}$ )、FはF線(波長 $\lambda = 486.1 \text{ nm}$ )をそれぞれ示す。非点収差図において、実線はサジタル像面、破線はメリディオナル像面をそれぞれ示す。なお、以下に示す各実施例の収差図においても、本実施例と同様の符号を用い、重複する説明は省略する。

[0084] 各諸収差図より、第1実施例に係る光学系は、諸収差が良好に補正され、優れた結像性能を有していることがわかる。

[0085] (第2実施例)

第2実施例について、図3～図4および表2を用いて説明する。図3は、本実施形態の第2実施例に係る光学系の無限遠合焦状態におけるレンズ構成を示す図である。第2実施例に係る光学系LS(2)は、物体側から順に並んだ、正の屈折力を有する第1レンズ群G1と、負の屈折力を有する第2レンズ群G2と、正の屈折力を有する第3レンズ群G3と、正の屈折力を有する第4レンズ群G4と、負の屈折力を有する第5レンズ群G5と、負の屈折力を有する第6レンズ群G6とから構成されている。広角端状態(W)から望遠端状態(T)に変倍する際、第1～第5レンズ群G1～G5がそれぞれ図3の矢印で示す方向に移動する。開口絞りSは、第2レンズ群G2内に配設されている。

[0086] 第1レンズ群G1は、物体側から順に並んだ、物体側に凸面を向けた負メニスカスレンズL11および両凸形状の正レンズL12からなる接合レンズと、物体側に凸面を向けた正メニスカスレンズL13と、から構成される。本実施例では、第1レンズ群G1の負メニスカスレンズL11が物体側レンズに該当する。正メニスカスレンズL13における像側のレンズ面に、回折

光学素子D O Eが配設される。回折光学素子D O Eは、例えば、互いに異なる材質の2種類の回折素子要素が同一の回折格子溝で接する密着複層型の回折光学素子であり、2種類の紫外線硬化樹脂によって所定の格子高さを有する1次の回折格子（光軸に対して回転対称形状の回折格子）が形成される。

- [0087] 第2レンズ群G 2は、物体側から順に並んだ、両凹形状の負レンズL 2 1および物体側に凸面を向けた正メニスカスレンズL 2 2からなる接合レンズと、物体側に凹面を向けた正メニスカスレンズL 2 3と、物体側に凸面を向けた正メニスカスレンズL 2 4と、から構成される。第2レンズ群G 2における正メニスカスレンズL 2 3と正メニスカスレンズL 2 4との間に、開口絞りSが配置される。本実施例では、第2レンズ群G 2の正メニスカスレンズL 2 2が条件式（1）～（2）等を満足するレンズに該当する。第2レンズ群G 2の負レンズL 2 1および正メニスカスレンズL 2 2からなる接合レンズと、正メニスカスレンズL 2 3とは、光軸と垂直な方向へ移動可能な防振レンズ群（部分群）を構成し、手ブレ等による結像位置の変位（像面I上の像ブレ）を補正する。
- [0088] 第3レンズ群G 3は、物体側から順に並んだ、物体側に凸面を向けた負メニスカスレンズL 3 1と、両凸形状の正レンズL 3 2と、から構成される。
- [0089] 第4レンズ群G 4は、物体側から順に並んだ、両凸形状の正レンズL 4 1および物体側に凹面を向けた負メニスカスレンズL 4 2からなる接合レンズ、から構成される。
- [0090] 第5レンズ群G 5は、物体側から順に並んだ、両凸形状の正レンズL 5 1および両凹形状の負レンズL 5 2からなる接合レンズ、から構成される。本実施例では、第5レンズ群G 5の全体を光軸に沿って移動させることにより、合焦を行う。
- [0091] 第6レンズ群G 6は、物体側から順に並んだ、物体側に凸面を向けた負メニスカスレンズL 6 1および両凸形状の正レンズL 6 2からなる接合レンズと、両凹形状の負レンズL 6 3と、物体側に凹面を向けた負メニスカスレンズL 6 4と、から構成される。第6レンズ群G 6の像側に、像面Iが配置さ

れる。本実施例では、第6レンズ群G6の負メニスカスレンズL64が像側レンズに該当し、第6レンズ群G6の負メニスカスレンズL61が条件式(1)～(2)等を満足するレンズに該当する。

[0092] 以下の表2に、第2実施例に係る光学系の諸元の値を掲げる。

[0093] (表2)

[全体諸元]

変倍比 2.00

|       | W       | M       | T       |
|-------|---------|---------|---------|
| f     | 199.985 | 300.128 | 400.487 |
| F N O | 5.770   | 5.773   | 7.777   |
| 2 ω   | 12.088  | 8.032   | 3.016   |
| Y     | 21.60   | 21.60   | 21.60   |
| T L   | 218.509 | 276.018 | 309.437 |
| B F   | 63.575  | 63.605  | 63.797  |

[レンズ諸元]

| 面番号 | R         | D       | n d      | v d    | θ g F  |
|-----|-----------|---------|----------|--------|--------|
| 1   | 338.9295  | 3.0000  | 1.806100 | 33.34  | 0.5904 |
| 2   | 157.1292  | 7.1098  | 1.487490 | 70.32  |        |
| 3   | -645.1901 | 0.1000  |          |        |        |
| 4   | 127.7241  | 6.3846  | 1.516800 | 64.13  |        |
| 5*b | 1000.0000 | D5 (可変) |          |        |        |
| 6   | -122.6329 | 1.7000  | 1.743997 | 44.79  |        |
| 7   | 65.7202   | 3.5689  | 1.659398 | 26.87  | 0.6323 |
| 8   | 249.7691  | 15.0000 |          |        |        |
| 9   | -47.9778  | 3.5000  | 1.756462 | 24.89  | 0.6196 |
| 10  | -45.0509  | 2.2932  |          |        |        |
| 11  | ∞         | 0.5000  |          | (絞り S) |        |
| 12  | 43.2479   | 2.9936  | 1.620041 | 36.26  |        |

|    |           |          |          |       |        |
|----|-----------|----------|----------|-------|--------|
| 13 | 64.4050   | D13 (可変) |          |       |        |
| 14 | 82.9323   | 1.7000   | 1.808090 | 22.74 |        |
| 15 | 46.2622   | 3.6463   |          |       |        |
| 16 | 71.4836   | 4.1939   | 1.612720 | 58.54 |        |
| 17 | -405.4059 | D17 (可変) |          |       |        |
| 18 | 56.3851   | 6.9255   | 1.497820 | 82.57 |        |
| 19 | -60.8758  | 1.7000   | 1.755000 | 52.33 |        |
| 20 | -374.3030 | D20 (可変) |          |       |        |
| 21 | 102.7274  | 2.4918   | 1.592701 | 35.31 |        |
| 22 | -125.8788 | 1.0000   | 1.755000 | 52.33 |        |
| 23 | 40.8982   | D23 (可変) |          |       |        |
| 24 | 121.6273  | 1.7000   | 1.659398 | 26.87 | 0.6323 |
| 25 | 52.1810   | 5.7438   | 1.595510 | 39.21 |        |
| 26 | -42.4345  | 0.1000   |          |       |        |
| 27 | -97.3797  | 1.5000   | 1.456000 | 91.37 |        |
| 28 | 59.1706   | 12.2493  |          |       |        |
| 29 | -26.6286  | 1.5000   | 1.755000 | 52.33 | 0.5476 |
| 30 | -37.6940  | BF       |          |       |        |

## [回折光学面データ]

## 第5面

 $\lambda_0 = 587.6$  $m = 1$  $C_2 = -2.57E-05$  $C_4 = -2.04E-11$ 

## [変倍撮影時可変間隔データ]

|     | W      | M      | T       |
|-----|--------|--------|---------|
| D5  | 11.860 | 93.192 | 119.742 |
| D13 | 10.900 | 0.500  | 3.244   |

|     |        |        |        |
|-----|--------|--------|--------|
| D17 | 0.600  | 5.172  | 0.600  |
| D20 | 34.411 | 13.877 | 0.200  |
| D23 | 6.561  | 9.070  | 31.254 |

## [レンズ群データ]

| 群  | 始面 | 焦点距離     |
|----|----|----------|
| G1 | 1  | 213.671  |
| G2 | 6  | -546.584 |
| G3 | 14 | 370.319  |
| G4 | 18 | 149.206  |
| G5 | 21 | -72.703  |
| G6 | 24 | -875.523 |

## [条件式対応値]

&lt;正メニスカスレンズL22&gt;

条件式(1)

$$n_d L Z + (0.01425 \times v_d L Z) = 2.042$$

条件式(2), (2-1), (2-2), (2-3), (2-4)

$$v_d L Z = 26.87$$

条件式(3), (3-1)

$$\theta_g F L Z + (0.00316 \times v_d L Z) = 0.7172$$

条件式(4)

$$n_d L Z + (0.00787 \times v_d L Z) = 1.871$$

条件式(5), (5-1), (5-2), (5-3), (5-4), (5-5)

$$n_d L Z = 1.659398$$

条件式(6)

$$D L Z = 3.5689$$

条件式(7)

$$n_d L Z - (0.040 \times v_d L Z - 2.470) \times v_d L Z = 35.830$$

条件式 (8)

$$n_d L_Z - (0.020 \times v_d L_Z - 1.080) \times v_d L_Z = 12.920$$

<負メニスカスレンズ L 6 1 >

条件式 (1)

$$n_d L_Z + (0.01425 \times v_d L_Z) = 2.042$$

条件式 (2), (2-1), (2-2), (2-3), (2-4)

$$v_d L_Z = 26.87$$

条件式 (3), (3-1)

$$\theta_g F_L Z + (0.00316 \times v_d L_Z) = 0.7172$$

条件式 (4)

$$n_d L_Z + (0.00787 \times v_d L_Z) = 1.871$$

条件式 (5), (5-1), (5-2), (5-3), (5-4), (5-5)

$$n_d L_Z = 1.659398$$

条件式 (6)

$$D_L Z = 1.7000$$

条件式 (7)

$$n_d L_Z - (0.040 \times v_d L_Z - 2.470) \times v_d L_Z = 35.830$$

条件式 (8)

$$n_d L_Z - (0.020 \times v_d L_Z - 1.080) \times v_d L_Z = 12.920$$

[0094] 図4 (A)、図4 (B)、および図4 (C) はそれぞれ、第2実施例に係る光学系の広角端状態、中間焦点距離状態、望遠端状態における無限遠合焦時の諸収差図である。各諸収差図より、第2実施例に係る光学系は、諸収差が良好に補正され、優れた結像性能を有していることがわかる。

[0095] (第3実施例)

第3実施例について、図5～図6並びに表3を用いて説明する。図5は、本実施形態の第3実施例に係る光学系の無限遠合焦状態におけるレンズ構成を示す図である。第3実施例に係る光学系 L S (3) は、物体側から順に並

んだ、負の屈折力を有する第1レンズ群G1と、正の屈折力を有する第2レンズ群G2とから構成されている。無限遠物体から近距離（有限距離）物体への合焦の際、第2レンズ群G2が光軸に沿って物体側に移動する。開口絞りSは、第2レンズ群G2内に配設されている。

- [0096] 第1レンズ群G1は、物体側から順に並んだ、物体側に凸面を向けた負メニスカスレンズL11と、両凸形状の正レンズL12と、両凹形状の負レンズL13と、両凸形状の正レンズL14および両凹形状の負レンズL15からなる接合レンズと、から構成される。本実施例では、第1レンズ群G1の負メニスカスレンズL11が物体側レンズに該当し、第1レンズ群G1の負レンズL15が条件式（1）～（2）等を満足するレンズに該当する。負レンズL13は、像側のレンズ面が非球面である。
- [0097] 第2レンズ群G2は、物体側から順に並んだ、両凸形状の正レンズL21と、物体側に凸面を向けた正メニスカスレンズL22および物体側に凸面を向けた負メニスカスレンズL23からなる接合レンズと、両凹形状の負レンズL24および両凸形状の正レンズL25からなる接合レンズと、像側に凸面を向けた片平形状の正レンズL26と、物体側に凹面を向けた正メニスカスレンズL27と、から構成される。第2レンズ群G2の像側に、像面Iが配置される。第2レンズ群G2における正レンズL21と正メニスカスレンズL22との間に、開口絞りSが配置される。本実施例では、第2レンズ群G2の正メニスカスレンズL27が像側レンズに該当し、第2レンズ群G2の正メニスカスレンズL22が条件式（1）～（2）等を満足するレンズに該当する。正レンズL26は、像側のレンズ面が非球面である。

[0098] 以下の表3に、第3実施例に係る光学系の諸元の値を掲げる。

[0099] (表3)

[全体諸元]

|       |         |
|-------|---------|
| f     | 28.773  |
| F N O | 1.8796  |
| 2 ω   | 75.3311 |

Y 21.60  
 T L 131.9655  
 B F 36.457

## [レンズ諸元]

| 面番号  | R         | D        | n d      | v d     | $\theta_g F$ |
|------|-----------|----------|----------|---------|--------------|
| 1    | 57.6700   | 1.7000   | 1.713000 | 53.94   | 0.5441       |
| 2    | 23.6385   | 10.630   |          |         |              |
| 3    | 360.0000  | 3.4200   | 1.846660 | 23.78   |              |
| 4    | -149.5844 | 2.1000   |          |         |              |
| 5    | -91.6110  | 1.7000   | 1.487490 | 70.31   |              |
| 6    | 34.8169   | 0.1000   | 1.520500 | 51.02   |              |
| 7*a  | 31.0734   | 7.4700   |          |         |              |
| 8    | 54.5000   | 8.5700   | 1.834000 | 37.18   |              |
| 9    | -43.5000  | 1.7000   | 1.749714 | 24.66   | 0.6272       |
| 10   | 475.5646  | D10 (可変) |          |         |              |
| 11   | 41.6500   | 6.2000   | 1.589130 | 61.24   |              |
| 12   | -79.7342  | 8.8800   |          |         |              |
| 13   | $\infty$  | 1.0000   |          | (絞り S ) |              |
| 14   | 71.7000   | 1.3000   | 1.659398 | 26.87   | 0.6323       |
| 15   | 165.1470  | 1.0000   | 1.672700 | 32.19   |              |
| 16   | 41.0000   | 6.0900   |          |         |              |
| 17   | -19.3844  | 1.5200   | 1.805180 | 25.46   |              |
| 18   | 400.0000  | 2.4200   | 1.772500 | 49.65   |              |
| 19   | -67.0000  | 0.6000   |          |         |              |
| 20   | $\infty$  | 3.0800   | 1.729160 | 54.66   |              |
| 21   | -50.8920  | 0.2000   | 1.520500 | 51.02   |              |
| 22*a | -37.6986  | 1.1400   |          |         |              |
| 23   | -98.0000  | 5.2100   | 1.834810 | 42.72   | 0.5651       |

|    |          |        |
|----|----------|--------|
| 24 | -26.8452 | 2.3629 |
| 25 | $\infty$ | BF     |

## [非球面データ]

## 第7面

$$\kappa = 0.0000$$

$$A4=-2.99E-06, A6=-2.39E-08, A8=1.13E-10, A10=-3.69E-13$$

## 第22面

$$\kappa = 0.0000$$

$$A4=2.03E-05, A6=4.37E-09, A8=1.85E-10, A10=-1.33E-12$$

## [近距離撮影時可変間隔データ]

無限遠合焦状態      近距離合焦状態

$$f = 28.7734 \quad \beta = -0.2174$$

$$D10 \quad 9.5660 \quad 2.3031$$

## [条件式対応値]

&lt;負レンズL15&gt;

## 条件式(1)

$$n_d L Z + (0.01425 \times v_d L Z) = 2.101$$

条件式(2), (2-1), (2-2), (2-3), (2-4)

$$v_d L Z = 24.66$$

条件式(3), (3-1)

$$\theta_g F L Z + (0.00316 \times v_d L Z) = 0.7051$$

## 条件式(4)

$$n_d L Z + (0.00787 \times v_d L Z) = 1.944$$

条件式(5), (5-1), (5-2), (5-3), (5-4), (5-5)

$$n_d L Z = 1.749714$$

条件式(6)

$$D L Z = 1.7000$$

条件式 (7)

$$n_d L_Z - (0.040 \times v_d L_Z - 2.470) \times v_d L_Z = 34.836$$

条件式 (8)

$$n_d L_Z - (0.020 \times v_d L_Z - 1.080) \times v_d L_Z = 12.721$$

<正メニスカスレンズ L 22>

条件式 (1)

$$n_d L_Z + (0.01425 \times v_d L_Z) = 2.042$$

条件式 (2), (2-1), (2-2), (2-3), (2-4)

$$v_d L_Z = 26.87$$

条件式 (3), (3-1)

$$\theta_g F_L Z + (0.00316 \times v_d L_Z) = 0.7172$$

条件式 (4)

$$n_d L_Z + (0.00787 \times v_d L_Z) = 1.871$$

条件式 (5), (5-1), (5-2), (5-3), (5-4), (5-5)

$$n_d L_Z = 1.659398$$

条件式 (6)

$$D_L Z = 1.3000$$

条件式 (7)

$$n_d L_Z - (0.040 \times v_d L_Z - 2.470) \times v_d L_Z = 35.830$$

条件式 (8)

$$n_d L_Z - (0.020 \times v_d L_Z - 1.080) \times v_d L_Z = 12.920$$

[0100] 図6は、第3実施例に係る光学系の無限遠合焦状態における諸収差図である。各諸収差図より、第3実施例に係る光学系は、諸収差が良好に補正され、優れた結像性能を有していることがわかる。

[0101] (第4実施例)

第4実施例について、図7～図8および表4を用いて説明する。図7は、本実施形態の第4実施例に係る光学系の無限遠合焦状態におけるレンズ構成

を示す図である。第4実施例に係る光学系L S (4)は、物体側から順に並んだ、正の屈折力を有する第1レンズ群G 1と、負の屈折力を有する第2レンズ群G 2と、正の屈折力を有する第3レンズ群G 3と、正の屈折力を有する第4レンズ群G 4とから構成されている。広角端状態(W)から望遠端状態(T)に変倍する際、第1～第4レンズ群G 1～G 4がそれぞれ図7の矢印で示す方向に移動する。開口絞りSは、第4レンズ群G 4内に配設されている。

- [0102] 第1レンズ群G 1は、物体側から順に並んだ、両凸形状の正レンズL 1 1と、物体側に凸面を向けた負メニスカスレンズL 1 2および物体側に凸面を向けた正メニスカスレンズL 1 3からなる接合レンズと、から構成される。本実施例では、第1レンズ群G 1の正レンズL 1 1が物体側レンズに該当し、第1レンズ群G 1の負メニスカスレンズL 1 2が条件式(1)～(2)等を満足するレンズに該当する。
- [0103] 第2レンズ群G 2は、物体側から順に並んだ、両凹形状の負レンズL 2 1および物体側に凸面を向けた正メニスカスレンズL 2 2からなる接合レンズと、両凹形状の負レンズL 2 3と、から構成される。
- [0104] 第3レンズ群G 3は、両凸形状の正レンズL 3 1から構成される。本実施例では、無限遠物体から近距離(有限距離)物体への合焦の際、第3レンズ群G 3の全体が光軸に沿って物体側に移動する。
- [0105] 第4レンズ群G 4は、物体側から順に並んだ、両凸形状の正レンズL 4 1および両凹形状の負レンズL 4 2からなる接合レンズと、両凸形状の正レンズL 4 3と、物体側に凹面を向けた正メニスカスレンズL 4 4および両凹形状の負レンズL 4 5からなる接合レンズと、両凸形状の正レンズL 4 6と、物体側に凹面を向けた負メニスカスレンズL 4 7と、から構成される。第4レンズ群G 4の像側に、像面Iが配置される。第4レンズ群G 4における正レンズL 4 3と正メニスカスレンズL 4 4との間に、開口絞りSが配置される。本実施例では、第4レンズ群G 4の負メニスカスレンズL 4 7が像側レンズに該当する。

[0106] 以下の表4に、第4実施例に係る光学系の諸元の値を掲げる。

[0107] (表4)

[全体諸元]

変倍比 4.05

|       | W       | M       | T       |
|-------|---------|---------|---------|
| f     | 72.1    | 135.0   | 292.1   |
| F N O | 4.707   | 4.863   | 6.494   |
| 2 ω   | 23.341  | 12.218  | 5.684   |
| Y     | 14.75   | 14.75   | 14.75   |
| T L   | 168.674 | 197.816 | 220.732 |
| B F   | 43.294  | 45.652  | 70.374  |

[レンズ諸元]

| 面番号 | R        | D        | n d     | v d   | θ g F |
|-----|----------|----------|---------|-------|-------|
| 1   | 93.841   | 5.6      | 1.51680 | 63.88 | 0.536 |
| 2   | -447.915 | 0.2      |         |       |       |
| 3   | 112.303  | 1.7      | 1.61155 | 31.26 | 0.618 |
| 4   | 39.024   | 8        | 1.51742 | 52.20 | 0.558 |
| 5   | 262.500  | D5 (可変)  |         |       |       |
| 6   | -239.035 | 1.3      | 1.69680 | 55.52 | 0.543 |
| 7   | 20.159   | 4        | 1.80809 | 22.74 | 0.629 |
| 8   | 61.046   | 2.038    |         |       |       |
| 9   | -54.537  | 1.4      | 1.85026 | 32.35 | 0.595 |
| 10  | 167.455  | D10 (可変) |         |       |       |
| 11  | 102.636  | 3.4      | 1.58913 | 61.22 | 0.540 |
| 12  | -68.899  | D12 (可変) |         |       |       |
| 13  | 39.218   | 5.5      | 1.49700 | 81.73 | 0.537 |
| 14  | -39.212  | 1.3      | 1.85026 | 32.35 | 0.595 |
| 15  | 207.543  | 0.2      |         |       |       |

|    |          |        |         |       |        |
|----|----------|--------|---------|-------|--------|
| 16 | 51.630   | 3.7    | 1.48749 | 70.31 | 0.529  |
| 17 | -98.216  | 0.9    |         |       |        |
| 18 | $\infty$ | 23.297 |         |       | (絞り S) |
| 19 | -79.941  | 3.3    | 1.80100 | 34.92 | 0.585  |
| 20 | -17.991  | 1      | 1.70000 | 48.11 | 0.560  |
| 21 | 29.977   | 2      |         |       |        |
| 22 | 35.573   | 3.5    | 1.60342 | 38.03 | 0.583  |
| 23 | -52.781  | 6.6996 |         |       |        |
| 24 | -20.538  | 1.2    | 1.77250 | 49.62 | 0.552  |
| 25 | -34.657  | BF     |         |       |        |

## [変倍撮影時可変間隔データ]

|     | W      | M      | T      |
|-----|--------|--------|--------|
| D5  | 2.306  | 36.768 | 51.599 |
| D10 | 32.727 | 21.603 | 2.157  |
| D12 | 10.112 | 13.560 | 16.367 |

## [レンズ群データ]

| 群  | 始面 | 焦点距離    |
|----|----|---------|
| G1 | 1  | 127.677 |
| G2 | 6  | -31.532 |
| G3 | 11 | 70.494  |
| G4 | 13 | 147.512 |

## [条件式対応値]

条件式 (1)

$$n_d L Z + (0.01425 \times v_d L Z) = 2.057$$

条件式 (2), (2-1), (2-2), (2-3), (2-4)

$$v_d L Z = 31.26$$

条件式 (3), (3-1)

$$\theta_g F L Z + (0.00316 \times v_d L Z) = 0.7168$$

条件式 (4)

$$n_d L_Z + (0.00787 \times v_d L_Z) = 1.858$$

条件式 (5), (5-1), (5-2), (5-3), (5-4), (5-5)

$$n_d L_Z = 1.61155$$

条件式 (6)

$$D_L Z = 1.7$$

条件式 (7)

$$n_d L_Z - (0.040 \times v_d L_Z - 2.470) \times v_d L_Z = 36.513$$

条件式 (8)

$$n_d L_Z - (0.020 \times v_d L_Z - 1.080) \times v_d L_Z = 12.605$$

[0108] 図8 (A)、図8 (B)、および図8 (C) はそれぞれ、第4実施例に係る光学系の広角端状態、中間焦点距離状態、望遠端状態における無限遠合焦時の諸収差図である。各諸収差図より、第4実施例に係る光学系は、諸収差が良好に補正され、優れた結像性能を有していることがわかる。

[0109] (第5実施例)

第5実施例について、図9～図10および表5を用いて説明する。図9は、本実施形態の第5実施例に係る光学系の無限遠合焦状態におけるレンズ構成を示す図である。第5実施例に係る光学系LS(5)は、物体側から順に並んだ、負の屈折力を有する第1レンズ群G1と、正の屈折力を有する第2レンズ群G2と、負の屈折力を有する第3レンズ群G3と、正の屈折力を有する第4レンズ群G4とから構成されている。広角端状態(W)から望遠端状態(T)に変倍する際、第1～第4レンズ群G1～G4がそれぞれ図9の矢印で示す方向に移動する。開口絞りSは、第1レンズ群G1と第2レンズ群G2との間に配設され、変倍の際、第2レンズ群G2とともに光軸に沿って移動する。

[0110] 第1レンズ群G1は、物体側から順に並んだ、物体側に凸面を向けた負メニスカスレンズL11と、物体側に凸面を向けた負メニスカスレンズL12

と、両凹形状の負レンズL13と、両凸形状の正レンズL14と、から構成される。本実施例では、第1レンズ群G1の負メニスカスレンズL11が物体側レンズに該当する。負メニスカスレンズL11は、両側のレンズ面が非球面である。負レンズL13は、像側のレンズ面が非球面である。

- [0111] 第2レンズ群G2は、物体側から順に並んだ、物体側に凸面を向けた負メニスカスレンズL21および物体側に凸面を向けた正メニスカスレンズL22からなる接合レンズと、両凸形状の正レンズL23と、から構成される。本実施例では、第2レンズ群G2の負メニスカスレンズL21が条件式(1)～(2)等を満足するレンズに該当する。
- [0112] 第3レンズ群G3は、物体側から順に並んだ、両凸形状の正レンズL31および両凹形状の負レンズL32からなる接合レンズと、物体側に凹面を向けた負メニスカスレンズL33と、両凸形状の正レンズL34と、から構成される。本実施例では、無限遠物体から近距離(有限距離)物体への合焦の際、第3レンズ群G3の負メニスカスレンズL33および正レンズL34が光軸に沿って像側に移動する。
- [0113] 第4レンズ群G4は、物体側から順に並んだ、両凸形状の正レンズL41および両凹形状の負レンズL42からなる接合レンズと、両凸形状の正レンズL43と、両凸形状の正レンズL44および両凹形状の負レンズL45からなる接合レンズと、から構成される。第4レンズ群G4の像側に、像面Iが配置される。本実施例では、第4レンズ群G4の負レンズL45が像側レンズに該当する。負レンズL45は、像側のレンズ面が非球面である。
- [0114] 以下の表5に、第5実施例に係る光学系の諸元の値を掲げる。
- [0115] (表5)

[全体諸元]

変倍比 2.07

|       | W     | M     | T     |
|-------|-------|-------|-------|
| f     | 16.65 | 24.00 | 34.44 |
| F N O | 4.12  | 4.12  | 4.18  |

|     |        |        |        |
|-----|--------|--------|--------|
| 2 ω | 53.80  | 41.66  | 31.60  |
| Y   | 21.60  | 21.60  | 21.60  |
| T L | 168.91 | 164.50 | 169.42 |
| B F | 39.00  | 48.25  | 65.00  |

## [レンズ諸元]

| 面番号 | R         | D        | n d     | v d    | θ g F  |
|-----|-----------|----------|---------|--------|--------|
| 1*a | 157.02850 | 3.000    | 1.76684 | 46.78  | 0.5576 |
| 2*a | 19.73150  | 8.955    |         |        |        |
| 3   | 397.62390 | 1.550    | 1.88300 | 40.66  | 0.5668 |
| 4   | 51.01700  | 5.065    |         |        |        |
| 5   | -57.91430 | 1.500    | 1.88300 | 40.66  | 0.5668 |
| 6   | 51.94950  | 0.400    | 1.55389 | 38.09  | 0.5928 |
| 7*a | 70.15770  | 1.237    |         |        |        |
| 8   | 44.62150  | 6.911    | 1.69895 | 30.13  | 0.6021 |
| 9   | -47.20650 | D9 (可変)  |         |        |        |
| 10  | ∞         | 0.000    |         | (絞り S) |        |
| 11  | 42.61580  | 1.050    | 1.74971 | 24.66  | 0.6272 |
| 12  | 17.74250  | 4.132    | 1.59154 | 39.29  | 0.5779 |
| 13  | 75.16900  | 0.100    |         |        |        |
| 14  | 34.28950  | 4.194    | 1.53404 | 48.26  | 0.5617 |
| 15  | -63.55520 | D15 (可変) |         |        |        |
| 16  | 151.28780 | 2.518    | 1.62004 | 36.40  | 0.5833 |
| 17  | -33.01780 | 1.000    | 1.88300 | 40.66  | 0.5668 |
| 18  | 44.83300  | 2.756    |         |        |        |
| 19  | -20.44030 | 0.800    | 1.88300 | 40.66  | 0.5668 |
| 20  | -59.69050 | 0.150    |         |        |        |
| 21  | 151.29690 | 3.966    | 1.84666 | 23.80  | 0.6215 |
| 22  | -32.91290 | D22 (可変) |         |        |        |

|      |             |        |         |       |        |
|------|-------------|--------|---------|-------|--------|
| 23   | 34.01270    | 10.039 | 1.49782 | 82.57 | 0.5386 |
| 24   | -29.32300   | 1.100  | 1.83400 | 37.18 | 0.5778 |
| 25   | 71.52300    | 0.100  |         |       |        |
| 26   | 34.90120    | 10.548 | 1.49782 | 82.57 | 0.5386 |
| 27   | -38.97720   | 0.100  |         |       |        |
| 28   | 40.26640    | 11.985 | 1.50377 | 63.91 | 0.536  |
| 29   | -23.35670   | 1.600  | 1.80610 | 40.97 | 0.5688 |
| 30*a | -1764.39570 | BF     |         |       |        |

## [非球面データ]

## 第1面

 $\kappa = 1.0000$  $A4=3.00E-06, A6=3.39E-09, A8=0.00E+00, A10=0.00E+00$ 

## 第2面

 $\kappa = 1.0000$  $A4=-2.11E-05, A6=0.00E+00, A8=0.00E+00, A10=0.00E+00$ 

## 第7面

 $\kappa = 1.0000$  $A4=1.75E-05, A6=-2.74E-08, A8=1.77E-11, A10=0.00E+00$ 

## 第30面

 $\kappa = 1.0000$  $A4=1.53E-05, A6=8.95E-09, A8=0.00E+00, A10=0.00E+00$ 

## [変倍撮影時可変間隔データ]

|     | W      | M      | T      |
|-----|--------|--------|--------|
| D9  | 29.355 | 13.227 | 2.000  |
| D15 | 6.263  | 12.605 | 16.459 |
| D22 | 9.534  | 5.666  | 1.200  |

## [レンズ群データ]

群 始面 焦点距離

|    |    |         |
|----|----|---------|
| G1 | 1  | -23.700 |
| G2 | 10 | 41.700  |
| G3 | 16 | -62.000 |
| G4 | 23 | 49.100  |

## [条件式対応値]

条件式(1)

$$n_d L_Z + (0.01425 \times v_d L_Z) = 2.101$$

条件式(2), (2-1), (2-2), (2-3), (2-4)

$$v_d L_Z = 24.66$$

条件式(3), (3-1)

$$\theta_g F_L Z + (0.00316 \times v_d L_Z) = 0.7051$$

条件式(4)

$$n_d L_Z + (0.00787 \times v_d L_Z) = 1.944$$

条件式(5), (5-1), (5-2), (5-3), (5-4), (5-5)

$$n_d L_Z = 1.74971$$

条件式(6)

$$D_L Z = 1.050$$

条件式(7)

$$n_d L_Z - (0.040 \times v_d L_Z - 2.470) \times v_d L_Z = 34.836$$

条件式(8)

$$n_d L_Z - (0.020 \times v_d L_Z - 1.080) \times v_d L_Z = 12.721$$

[0116] 図10(A)、図10(B)、および図10(C)はそれぞれ、第5実施例に係る光学系の広角端状態、中間焦点距離状態、望遠端状態における無限遠合焦時の諸収差図である。各諸収差図より、第5実施例に係る光学系は、諸収差が良好に補正され、優れた結像性能を有していることがわかる。

[0117] (第6実施例)

第6実施例について、図11～図12および表6を用いて説明する。図1

1は、本実施形態の第6実施例に係る光学系の無限遠合焦状態におけるレンズ構成を示す図である。第6実施例に係る光学系LS(6)は、物体側から順に並んだ、正の屈折力を有する第1レンズ群G1と、負の屈折力を有する第2レンズ群G2と、正の屈折力を有する第3レンズ群G3とから構成されている。無限遠物体から近距離(有限距離)物体への合焦の際、第2レンズ群G2が光軸に沿って像側に移動する。開口絞りSは、第3レンズ群G3の物体側近傍に配設され、合焦の際、第1レンズ群G1および第3レンズ群G3と同様に、像面Iに対して固定される。

- [0118] 第1レンズ群G1は、物体側から順に並んだ、極めて弱い屈折力を有する保護ガラスHGと、両凸形状の正レンズL11と、両凸形状の正レンズL12と、両凹形状の負レンズL13と、物体側に凸面を向けた負メニスカスレンズL14および物体側に凸面を向けた正メニスカスレンズL15からなる接合レンズと、から構成される。本実施例では、第1レンズ群G1の正レンズL11が物体側レンズに該当する。
- [0119] 第2レンズ群G2は、物体側から順に並んだ、両凹形状の負レンズL21と、物体側に凹面を向けた正メニスカスレンズL22および両凹形状の負レンズL23からなる接合レンズと、から構成される。
- [0120] 第3レンズ群G3は、物体側から順に並んだ、両凸形状の正レンズL31と、物体側に凹面を向けた負メニスカスレンズL32と、両凸形状の正レンズL33および両凹形状の負レンズL34からなる接合レンズと、両凹形状の負レンズL35と、両凸形状の正レンズL36と、両凸形状の正レンズL37および両凹形状の負レンズL38からなる接合レンズと、物体側に凹面を向けた正メニスカスレンズL39および物体側に凹面を向けた負メニスカスレンズL40からなる接合レンズと、物体側に凸面を向けた負メニスカスレンズL41および物体側に凸面を向けた正メニスカスレンズL42からなる接合レンズと、両凹形状の負レンズL43と、両凸形状の正レンズL44および物体側に凹面を向けた負メニスカスレンズL45からなる接合レンズと、から構成される。本実施例では、第3レンズ群G3の負メニスカスレン

ズ L 4 5 が像側レンズに該当し、第3レンズ群 G 3 の正メニスカスレンズ L 3 9 が条件式（1）～（2）等を満足するレンズに該当する。

[0121] 第3レンズ群 G 3 の像側に、像面 I が配置される。第3レンズ群 G 3 における負レンズ L 3 8 と正メニスカスレンズ L 3 9との間には、抜き差し交換可能な光学フィルター F L が配設されている。抜き差し交換可能な光学フィルター F L として、例えば、NC フィルター（ニュートラルカラーフィルター）や、カラーフィルター、偏光フィルター、ND フィルター（減光フィルター）、IR フィルター（赤外線カットフィルター）等が用いられる。

[0122] 以下の表 6 に、第6実施例に係る光学系の諸元の値を掲げる。

[0123] (表 6)

[全体諸元]

|       |            |
|-------|------------|
| f     | 548.897246 |
| F N O | 4.028      |
| 2 ω   | 4.529      |
| Y     | 21.60      |
| T L   | 421.51451  |
| B F   | 41.79450   |

[レンズ諸元]

| 面番号 | R          | D       | n d      | v d   | θ g F |
|-----|------------|---------|----------|-------|-------|
| 1   | 1200.3704  | 5.0000  | 1.516800 | 63.88 | 0.536 |
| 2   | 1199.7897  |         |          |       |       |
| 3   | 207.5249   | 17.5000 | 1.433843 | 95.26 | 0.540 |
| 4   | -1086.1158 | 44.9000 |          |       |       |
| 5   | 176.7586   | 18.0000 | 1.433843 | 95.26 | 0.540 |
| 6   | -399.9688  | 3.0700  |          |       |       |
| 7   | -360.7137  | 6.0000  | 1.612660 | 44.46 | 0.564 |
| 8   | 360.6858   | 90.0000 |          |       |       |
| 9   | 66.6831    | 4.0000  | 1.794997 | 45.32 | 0.560 |

|    |            |          |          |        |       |
|----|------------|----------|----------|--------|-------|
| 10 | 46.0960    | 15.0000  | 1.497820 | 82.54  | 0.539 |
| 11 | 1030.2823  | D11 (可変) |          |        |       |
| 12 | -1579.9519 | 2.5000   | 1.772499 | 49.68  | 0.552 |
| 13 | 115.8247   | 3.3500   |          |        |       |
| 14 | -274.6805  | 3.5000   | 1.846679 | 23.83  | 0.620 |
| 15 | -87.1354   | 2.4000   | 1.518229 | 58.84  | 0.546 |
| 16 | 65.0724    | D16 (可変) |          |        |       |
| 17 | $\infty$   | 1.5000   |          | (絞り S) |       |
| 18 | 89.0765    | 7.6000   | 1.487490 | 70.43  | 0.530 |
| 19 | -64.1681   | 1.2000   |          |        |       |
| 20 | -66.2092   | 1.9000   | 1.846679 | 23.83  | 0.620 |
| 21 | -113.6112  | 5.0000   |          |        |       |
| 22 | 309.3141   | 3.5000   | 1.846679 | 23.83  | 0.620 |
| 23 | -136.2550  | 1.9000   | 1.593190 | 67.94  | 0.544 |
| 24 | 53.6104    | 3.1000   |          |        |       |
| 25 | -343.3953  | 1.9000   | 1.754999 | 52.33  | 0.548 |
| 26 | 94.6723    | 4.1900   |          |        |       |
| 27 | 117.8519   | 3.5000   | 1.772499 | 49.68  | 0.552 |
| 28 | -385.7489  | 0.1000   |          |        |       |
| 29 | 67.6179    | 4.5000   | 1.639999 | 60.14  | 0.537 |
| 30 | -410.4180  | 1.9000   | 1.846679 | 23.83  | 0.620 |
| 31 | 247.6487   | 6.5000   |          |        |       |
| 32 | $\infty$   | 1.5000   | 1.516800 | 63.88  | 0.536 |
| 33 | $\infty$   | 25.3277  |          |        |       |
| 34 | -212.6904  | 6.2000   | 1.659398 | 26.84  | 0.632 |
| 35 | -34.5457   | 1.6000   | 1.850000 | 27.03  | 0.609 |
| 36 | -57.9415   | 0.1000   |          |        |       |
| 37 | 171.5239   | 1.7000   | 1.729160 | 54.61  | 0.544 |

|    |           |        |          |       |       |
|----|-----------|--------|----------|-------|-------|
| 38 | 20.3538   | 7.1000 | 1.581440 | 40.98 | 0.576 |
| 39 | 199.2504  | 3.7000 |          |       |       |
| 40 | -61.4914  | 1.7000 | 1.772500 | 49.62 | 0.552 |
| 41 | 80.1566   | 0.1000 |          |       |       |
| 42 | 39.9229   | 7.8000 | 1.581440 | 40.98 | 0.576 |
| 43 | -38.2861  | 1.7000 | 1.808090 | 22.74 | 0.629 |
| 44 | -171.6744 | BF     |          |       |       |

## [近距離撮影時可変間隔データ]

無限遠合焦状態 近距離合焦状態

$$f = 548.89725 \quad \beta = -0.24282$$

$$D11 = 18.50291 \quad 33.77284$$

$$D16 = 38.17937 \quad 22.90945$$

## [条件式対応値]

条件式(1)

$$n_d L_Z + (0.01425 \times v_d L_Z) = 2.042$$

条件式(2), (2-1), (2-2), (2-3), (2-4)

$$v_d L_Z = 26.84$$

条件式(3), (3-1)

$$\theta_g F_L Z + (0.00316 \times v_d L_Z) = 0.7168$$

条件式(4)

$$n_d L_Z + (0.00787 \times v_d L_Z) = 1.871$$

条件式(5), (5-1), (5-2), (5-3), (5-4), (5-5)

$$n_d L_Z = 1.659398$$

条件式(6)

$$D_L Z = 6.2000$$

条件式(7)

$$n_d L_Z - (0.040 \times v_d L_Z - 2.470) \times v_d L_Z = 35.820$$

条件式（8）

$$n_d L_Z - (0.020 \times v_d L_Z - 1.080) \times v_d L_Z = 12.920$$

[0124] 図12は、第6実施例に係る光学系の無限遠合焦状態における諸収差図である。各諸収差図より、第6実施例に係る光学系は、諸収差が良好に補正され、優れた結像性能を有していることがわかる。

[0125] (第7実施例)

第7実施例について、図13～図14および表7を用いて説明する。図13は、本実施形態の第7実施例に係る光学系の無限遠合焦状態におけるレンズ構成を示す図である。第7実施例に係る光学系LS(7)は、物体側から順に並んだ、正の屈折力を有する第1レンズ群G1と、負の屈折力を有する第2レンズ群G2と、正の屈折力を有する第3レンズ群G3とから構成されている。無限遠物体から近距離（有限距離）物体への合焦の際、第2レンズ群G2が光軸に沿って像側に移動する。開口絞りSは、第3レンズ群G3の物体側近傍に配設され、合焦の際、第1レンズ群G1および第3レンズ群G3と同様に、像面Iに対して固定される。

[0126] 第1レンズ群G1は、物体側から順に並んだ、凸面を向けた正メニスカスレンズL11と、両凸形状の正レンズL12および両凹形状の負レンズL13からなる接合レンズと、両凸形状の正レンズL14と、物体側に凸面を向けた負メニスカスレンズL15および物体側に凸面を向けた正メニスカスレンズL16からなる接合レンズと、から構成される。本実施例では、第1レンズ群G1の正メニスカスレンズL11が物体側レンズに該当する。

[0127] 第2レンズ群G2は、物体側から順に並んだ、物体側に凹面を向けた正メニスカスレンズL21および両凹形状の負レンズL22からなる接合レンズと、物体側に凹面を向けた正メニスカスレンズL23および両凹形状の負レンズL24からなる接合レンズと、から構成される。

[0128] 第3レンズ群G3は、物体側から順に並んだ、両凸形状の正レンズL31と、物体側に凹面を向けた負メニスカスレンズL32と、物体側に凹面を向けた正メニスカスレンズL33と、両凸形状の正レンズL34と、物体側に

凸面を向けた負メニスカスレンズL35と、両凸形状の正レンズL36、両凹形状の負レンズL37、および両凸形状の正レンズL38からなる接合レンズと、物体側に凹面を向けた正メニスカスレンズL39と、物体側に凹面を向けた負メニスカスレンズL40と、から構成される。本実施例では、第3レンズ群G3の負メニスカスレンズL40が像側レンズに該当し、第3レンズ群G3の正レンズL34が条件式(1)～(2)等を満足するレンズに該当する。正メニスカスレンズL39は、物体側のレンズ面が非球面である。

[0129] 第3レンズ群G3の像側に、像面Iが配置される。第3レンズ群G3における正メニスカスレンズL33と正レンズL34との間には、抜き差し交換可能な光学フィルターFLが配設されている。抜き差し交換可能な光学フィルターFLとして、例えば、NCフィルター(ニュートラルカラーフィルター)や、カラーフィルター、偏光フィルター、NDフィルター(減光フィルター)、IRフィルター(赤外線カットフィルター)等が用いられる。

[0130] 以下の表7に、第7実施例に係る光学系の諸元の値を掲げる。

[0131] (表7)

#### [全体諸元]

|     |            |
|-----|------------|
| f   | 388.032537 |
| FNO | 4.038      |
| 2ω  | 6.416      |
| Y   | 21.60      |
| TL  | 283.53069  |
| BF  | 53.66784   |

#### [レンズ諸元]

| 面番号 | R         | D       | n d      | v d   | θ g F |
|-----|-----------|---------|----------|-------|-------|
| 1   | 167.3500  | 10.6000 | 1.497820 | 82.52 | 0.539 |
| 2   | 2361.5509 | 0.3000  |          |       |       |
| 3   | 98.4074   | 20.8000 | 1.497820 | 82.52 | 0.539 |

|    |            |          |          |        |       |
|----|------------|----------|----------|--------|-------|
| 4  | -306.6320  | 5.0000   | 1.772499 | 49.61  | 0.552 |
| 5  | 165.4047   | 20.0000  |          |        |       |
| 6  | 135.6601   | 9.6000   | 1.446791 | 91.03  | 0.534 |
| 7  | -731.2064  | 0.3000   |          |        |       |
| 8  | 71.2883    | 4.0000   | 1.754999 | 52.31  | 0.547 |
| 9  | 42.3960    | 16.5000  | 1.497820 | 82.52  | 0.539 |
| 10 | 435.6465   | D10 (可変) |          |        |       |
| 11 | -1745.8851 | 5.0000   | 1.850260 | 32.35  | 0.594 |
| 12 | -78.6510   | 3.0000   | 1.639999 | 60.09  | 0.538 |
| 13 | 55.9799    | 6.0000   |          |        |       |
| 14 | -79.8113   | 4.2000   | 1.766840 | 46.80  | 0.558 |
| 15 | -45.8300   | 2.8000   | 1.516800 | 64.10  | 0.536 |
| 16 | 51.2954    | D16 (可変) |          |        |       |
| 17 | ∞          | 3.2000   |          | (絞り S) |       |
| 18 | 126.0707   | 5.0000   | 1.729157 | 54.66  | 0.544 |
| 19 | -81.3057   | 2.1000   |          |        |       |
| 20 | -43.1962   | 3.4000   | 1.795040 | 28.54  | 0.607 |
| 21 | -104.9670  | 7.0000   |          |        |       |
| 22 | -827.9284  | 5.3000   | 1.603001 | 65.47  | 0.541 |
| 23 | -52.9313   | 5.3151   |          |        |       |
| 24 | ∞          | 2.0000   | 1.516800 | 64.12  | 0.536 |
| 25 | ∞          | 9.4440   |          |        |       |
| 26 | 64.5713    | 5.0000   | 1.611553 | 31.26  | 0.618 |
| 27 | -280.9473  | 0.8000   |          |        |       |
| 28 | 350.7347   | 1.5000   | 1.804000 | 46.58  | 0.557 |
| 29 | 24.0250    | 5.4000   |          |        |       |
| 30 | 33.9853    | 9.0000   | 1.620040 | 36.30  | 0.587 |
| 31 | -23.4510   | 2.0000   | 1.882997 | 40.76  | 0.567 |

|      |           |        |          |       |       |
|------|-----------|--------|----------|-------|-------|
| 32   | 36.4535   | 8.2000 | 1.575010 | 41.49 | 0.576 |
| 33   | -45.3865  | 2.9000 |          |       |       |
| 34*a | -91.9573  | 6.4000 | 1.589130 | 61.18 | 0.539 |
| 35   | -28.9225  | 0.5000 |          |       |       |
| 36   | -33.4300  | 2.5000 | 1.882997 | 40.76 | 0.567 |
| 37   | -192.4648 | BF     |          |       |       |

## [非球面データ]

第34面

$\kappa = 1.0000$

$A4=8.36373E-06, A6=2.40160E-09, A8=0.00000E+00, A10=0.00000E+00$

## [近距離撮影時可変間隔データ]

無限遠合焦状態 近距離合焦状態

$f = 388.03254 \quad \beta = -0.25415$

D10 19.01315 27.19783

D16 15.10916 6.92448

## [条件式対応値]

条件式(1)

$n_d L_Z + (0.01425 \times v_d L_Z) = 2.057$

条件式(2), (2-1), (2-2), (2-3), (2-4)

$v_d L_Z = 31.26$

条件式(3), (3-1)

$\theta_g F_L Z + (0.00316 \times v_d L_Z) = 0.7168$

条件式(4)

$n_d L_Z + (0.00787 \times v_d L_Z) = 1.858$

条件式(5), (5-1), (5-2), (5-3), (5-4), (5-5)

$n_d L_Z = 1.611553$

条件式(6)

$$D_L Z = 5.0000$$

条件式 (7)

$$n_d L Z - (0.040 \times v_d L Z - 2.470) \times v_d L Z = 36.513$$

条件式 (8)

$$n_d L Z - (0.020 \times v_d L Z - 1.080) \times v_d L Z = 12.605$$

- [0132] 図14は、第7実施例に係る光学系の無限遠合焦状態における諸収差図である。各諸収差図より、第7実施例に係る光学系は、諸収差が良好に補正され、優れた結像性能を有していることがわかる。
- [0133] 上記各実施例によれば、色収差の補正において、1次の色消しに加え、2次スペクトルが良好に補正された光学系を実現することができる。
- [0134] ここで、上記各実施例は本願発明の一具体例を示しているものであり、本願発明はこれらに限定されるものではない。
- [0135] なお、以下の内容は、本実施形態の光学系の光学性能を損なわない範囲で適宜採用することが可能である。
- [0136] 合焦レンズ群とは、合焦時に変化する空気間隔で分離された、少なくとも1枚のレンズを有する部分を示すものとする。すなわち、単独または複数のレンズ群、または部分レンズ群を光軸方向に移動させて、無限遠物体から近距離物体への合焦を行う合焦レンズ群としても良い。この合焦レンズ群は、オートフォーカスにも適用でき、オートフォーカス用の（超音波モータ等を用いた）モータ駆動にも適している。
- [0137] 本実施形態の光学系の第1、第2実施例において、防振機能を有する構成のものを示したが、本願はこれに限られず、防振機能を有していない構成とすることもできる。また、防振機能を有していない他の実施例についても、防振機能を有する構成とすることができます。
- [0138] レンズ面は、球面または平面で形成されても、非球面で形成されても構わない。レンズ面が球面または平面の場合、レンズ加工および組立調整が容易になり、加工および組立調整の誤差による光学性能の劣化を防げるので好ましい。また、像面がずれた場合でも描写性能の劣化が少ないので好ましい。

[0139] レンズ面が非球面の場合、非球面は、研削加工による非球面、ガラスを型で非球面形状に形成したガラスモールド非球面、ガラスの表面に樹脂を非球面形状に形成した複合型非球面のいずれでも構わない。また、レンズ面は回折面としても良く、レンズを屈折率分布型レンズ（G R I N レンズ）あるいはプラスチックレンズとしても良い。

[0140] 各レンズ面には、フレアやゴーストを軽減し、コントラストの高い光学性能を達成するために、広い波長域で高い透過率を有する反射防止膜を施しても良い。これにより、フレアやゴーストを軽減し、高コントラストの高い光学性能を達成することができる。

### 符号の説明

|      |        |     |        |
|------|--------|-----|--------|
| G 1  | 第1レンズ群 | G 2 | 第2レンズ群 |
| G 3  | 第3レンズ群 | G 4 | 第4レンズ群 |
| G 5  | 第5レンズ群 | G 6 | 第6レンズ群 |
| I 像面 |        |     | S 開口絞り |

## 請求の範囲

- [請求項1] 以下の条件式を満足するレンズを有する光学系。
- $$n_{dLZ} + (0.01425 \times v_{dLZ}) < 2.12$$
- $$v_{dLZ} < 35.0$$
- 但し、 $n_{dLZ}$ ：前記レンズのd線に対する屈折率  
 $v_{dLZ}$ ：前記レンズのd線を基準とするアッベ数
- [請求項2] 前記レンズは、以下の条件式を満足する請求項1に記載の光学系。
- $$0.702 < \theta_{gFLZ} + (0.00316 \times v_{dLZ})$$
- 但し、 $\theta_{gFLZ}$ ：前記レンズの部分分散比であり、前記レンズのg線に対する屈折率を $n_{gLZ}$ とし、前記レンズのF線に対する屈折率を $n_{FLZ}$ とし、前記レンズのC線に対する屈折率を $n_{CLZ}$ としたとき、次式で定義される
- $$\theta_{gFLZ} = (n_{gLZ} - n_{FLZ}) / (n_{FLZ} - n_{CLZ})$$
- [請求項3] 前記レンズは、以下の条件式を満足する請求項1または2に記載の光学系。
- $$18.0 < v_{dLZ} < 35.0$$
- [請求項4] 前記レンズは、以下の条件式を満足する請求項1～3のいずれか一項に記載の光学系。
- $$1.83 < n_{dLZ} + (0.00787 \times v_{dLZ})$$
- [請求項5] 前記レンズは、以下の条件式を満足する請求項1～4のいずれか一項に記載の光学系。
- $$1.55 < n_{dLZ}$$
- [請求項6] 前記レンズは、以下の条件式を満足する請求項1～5のいずれか一項に記載の光学系。
- $$D_{LZ} > 0.80$$
- 但し、 $D_{LZ}$ ：前記レンズの光軸上の厚さ [mm]
- [請求項7] 前記レンズは、以下の条件式を満足する請求項1～6のいずれか一項に記載の光学系。

$$n_{dLZ} < 1.63$$

$$n_{dLZ} - (0.040 \times v_{dLZ} - 2.470) \times v_{dLZ} < 3$$

9.809

[請求項8]

前記レンズは、以下の条件式を満足する請求項1～7のいずれか一項に記載の光学系。

$$n_{dLZ} - (0.020 \times v_{dLZ} - 1.080) \times v_{dLZ} < 1.260$$

[請求項9]

前記レンズは、以下の条件式を満足する請求項1～6のいずれか一項に記載の光学系。

$$18.0 < v_{dLZ} < 27.0$$

[請求項10]

前記レンズは、以下の条件式を満足する請求項1～6のいずれか一項、または請求項9に記載の光学系。

$$1.70 < n_{dLZ} < 1.85$$

[請求項11]

前記レンズは、以下の条件式を満足する請求項1～6のいずれか一項に記載の光学系。

$$0.702 < \theta_{gFLZ} + (0.00316 \times v_{dLZ}) < 0.900$$

但し、 $\theta_{gFLZ}$ ：前記レンズの部分分散比であり、前記レンズのg線に対する屈折率を $n_{gLZ}$ とし、前記レンズのF線に対する屈折率を $n_{FLZ}$ とし、前記レンズのC線に対する屈折率を $n_{CLZ}$ としたとき、次式で定義される

$$\theta_{gFLZ} = (n_{gLZ} - n_{FLZ}) / (n_{FLZ} - n_{CLZ})$$

[請求項12]

前記レンズは、以下の条件式を満足する請求項1～6のいずれか一項に記載の光学系。

◦

$$1.55 < n_{dLZ} < 1.70$$

[請求項13]

前記レンズは、以下の条件式を満足する請求項1～6のいずれか一項に記載の光学系。

$$27.0 < v_{dLZ} < 35.0$$

[請求項14] 前記レンズは、以下の条件式を満足する請求項13に記載の光学系

◦

$$1.55 < n_d L_Z < 1.70$$

[請求項15] 前記レンズは、以下の条件式を満足する請求項1～6のいずれか一項に記載の光学系。

$$25.0 < \nu_d L_Z < 31.0$$

[請求項16] 前記レンズは、以下の条件式を満足する請求項15に記載の光学系

◦

$$1.55 < n_d L_Z < 1.80$$

[請求項17] 最も物体側に配置された物体側レンズを有し、  
前記レンズが前記物体側レンズより像側に配置される請求項1～16のいずれか一項に記載の光学系。

[請求項18] 最も像側に配置された像側レンズを有し、  
前記レンズが前記像側レンズより物体側に配置される請求項1～17のいずれか一項に記載の光学系。

[請求項19] 前記レンズは、ガラスレンズである請求項1～18のいずれか一項に記載の光学系。

[請求項20] 請求項1～19のいずれか一項に記載の光学系を備えて構成される光学機器。

[請求項21] 以下の条件式を満足するレンズを有するように、

レンズ鏡筒内に各レンズを配置する光学系の製造方法。

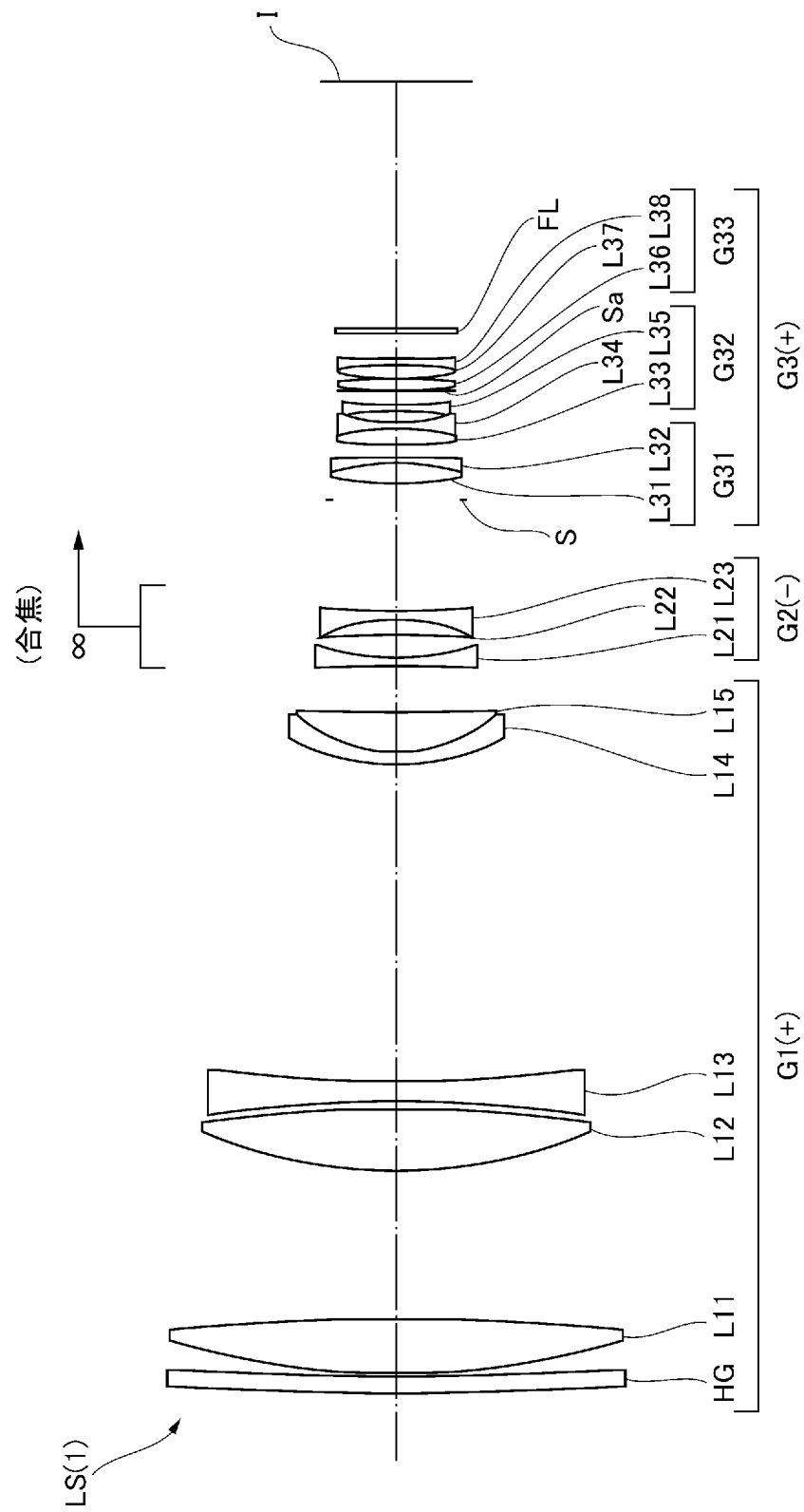
$$n_d L_Z + (0.01425 \times \nu_d L_Z) < 2.12$$

$$\nu_d L_Z < 35.0$$

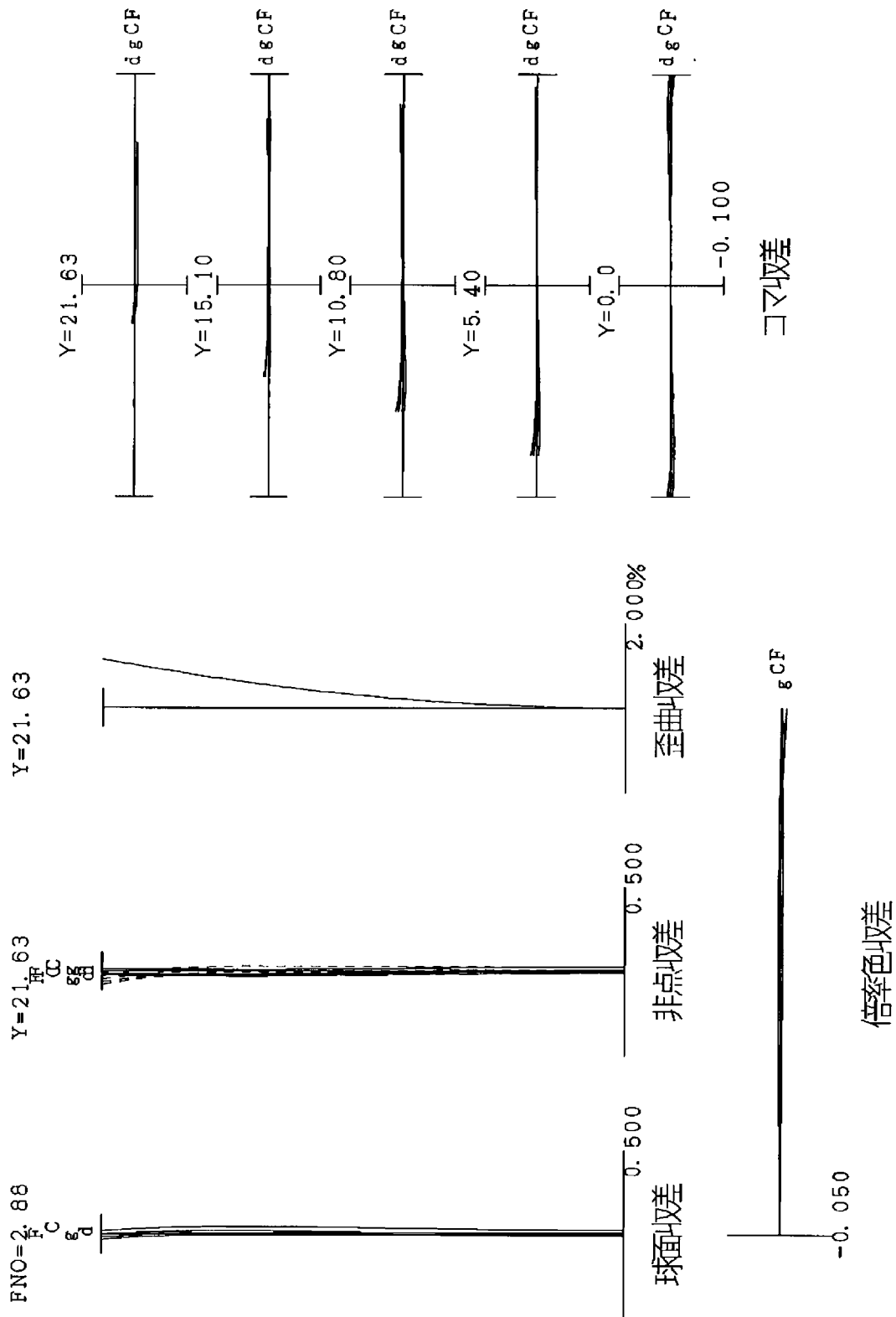
但し、 $n_d L_Z$ ：前記レンズのd線に対する屈折率

$\nu_d L_Z$ ：前記レンズのd線を基準とするアッペ数

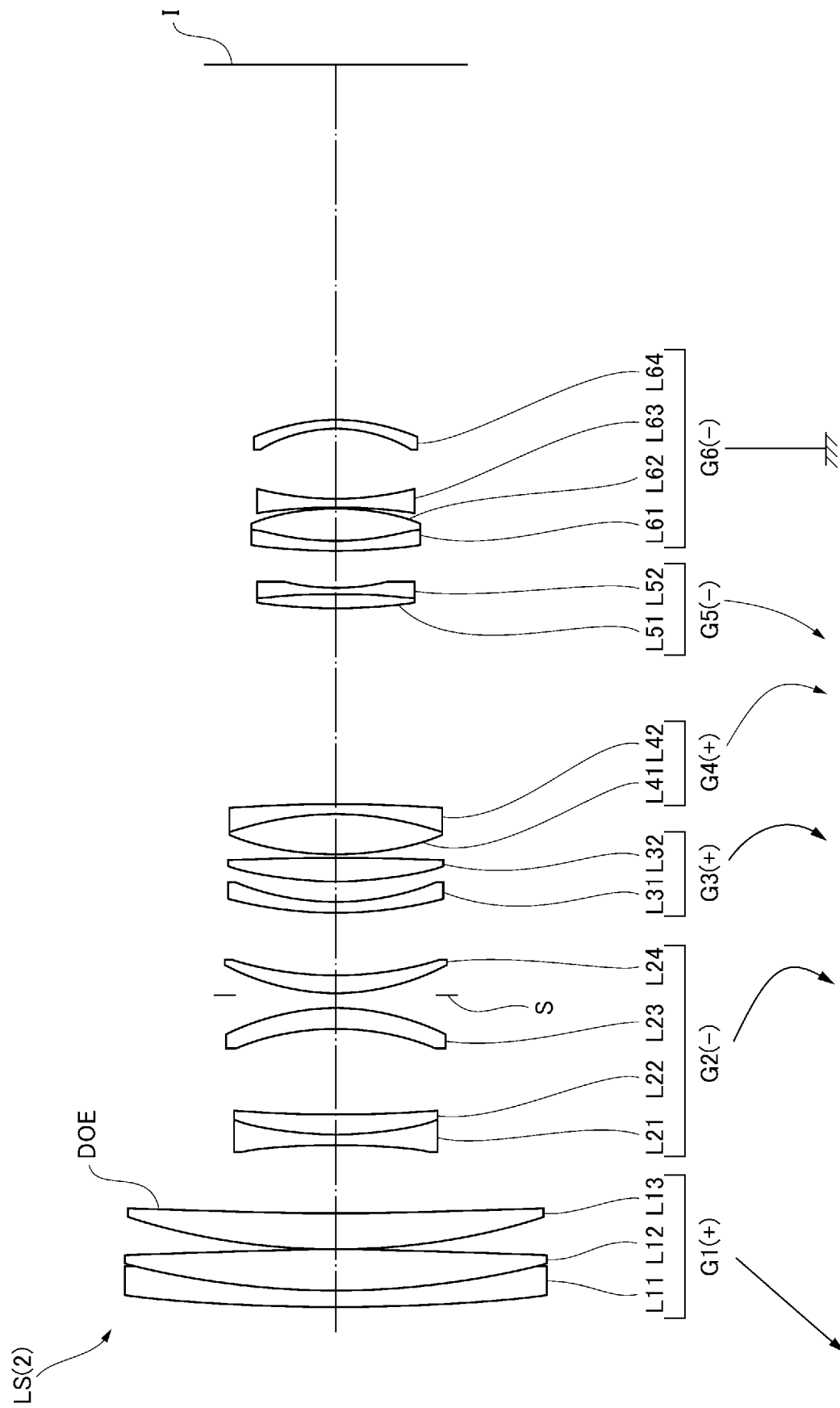
[図1]



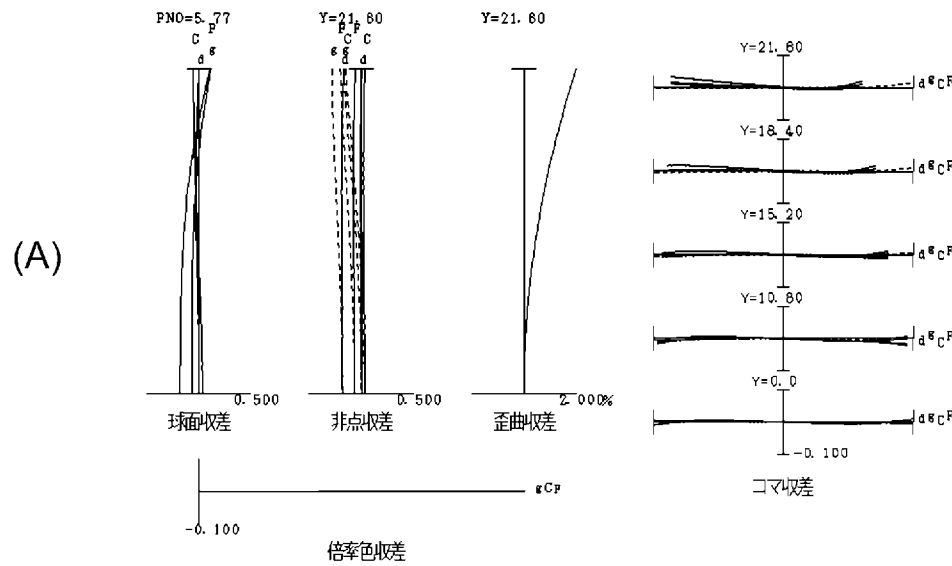
[図2]



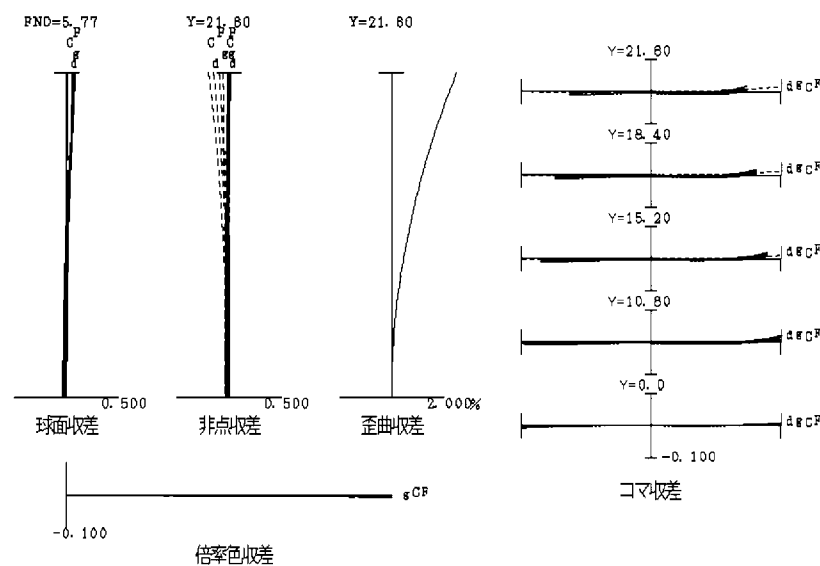
[図3]



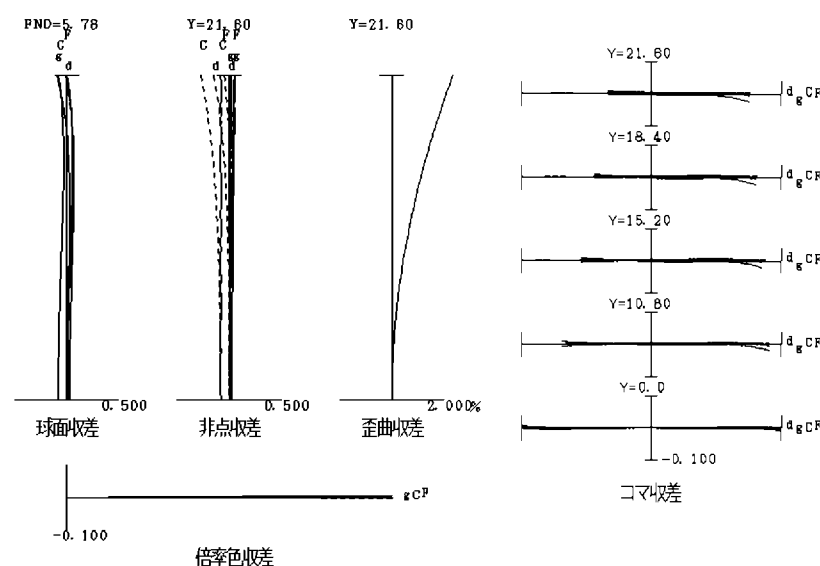
[図4]



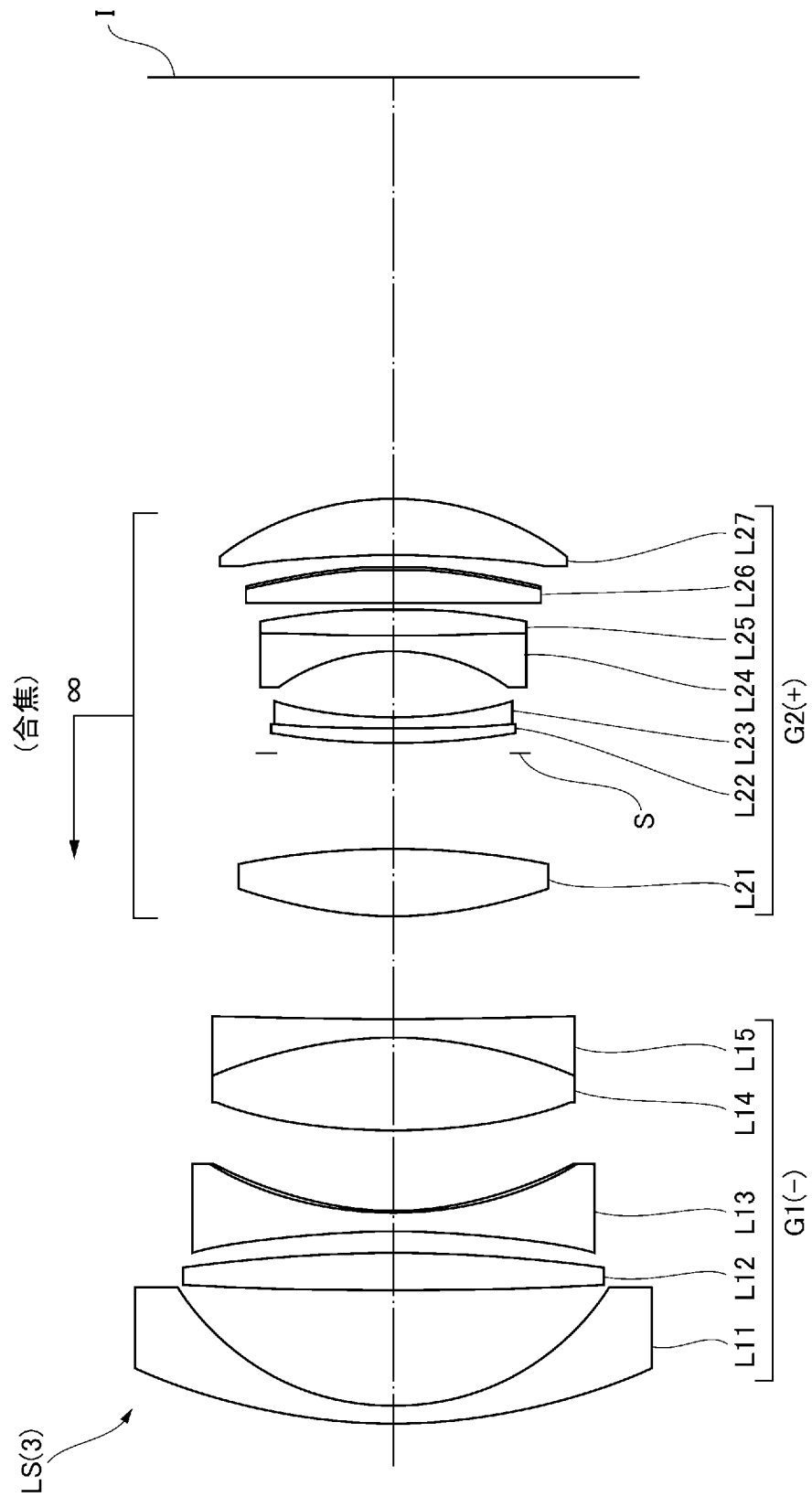
(B)



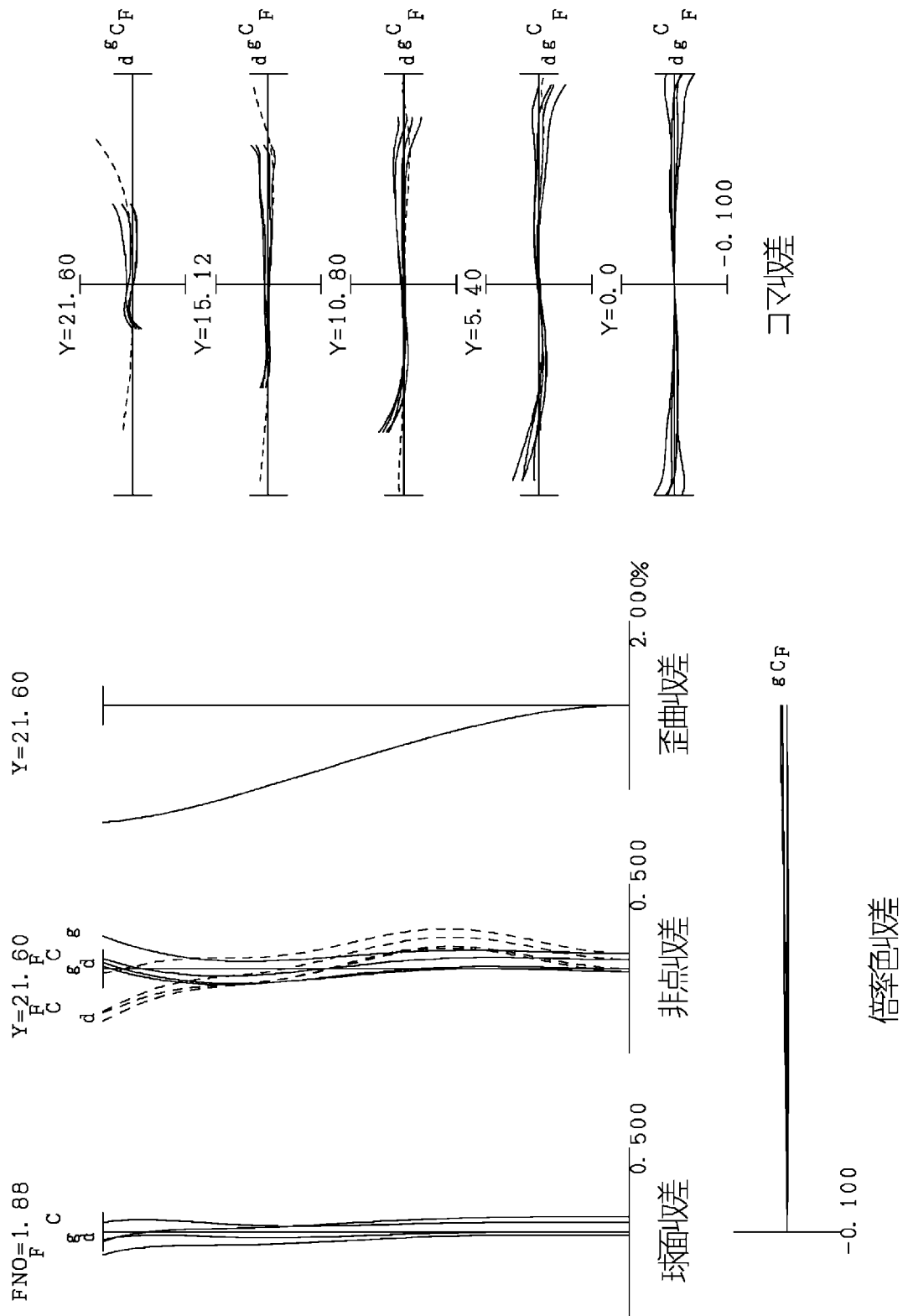
(C)



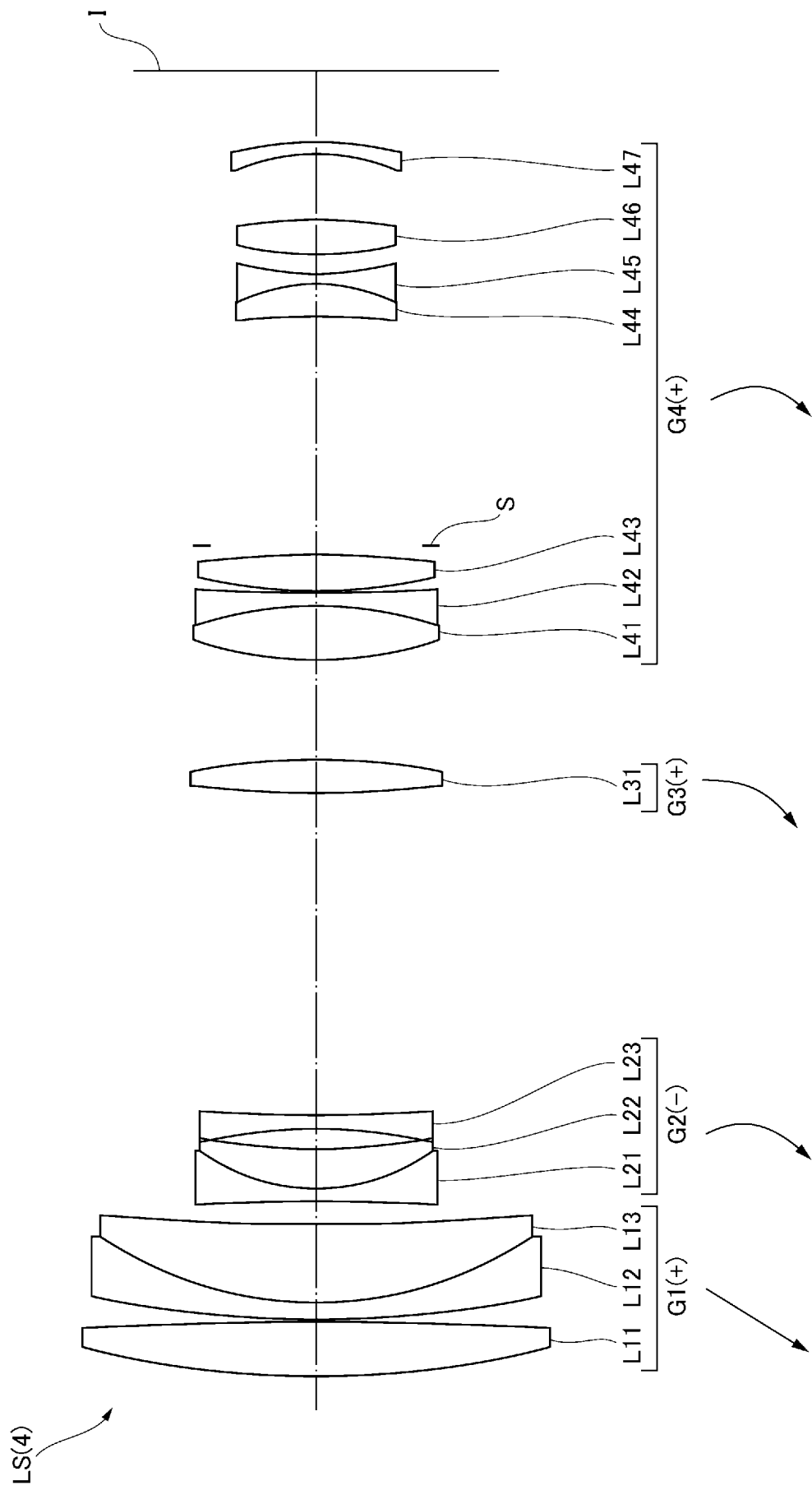
[図5]



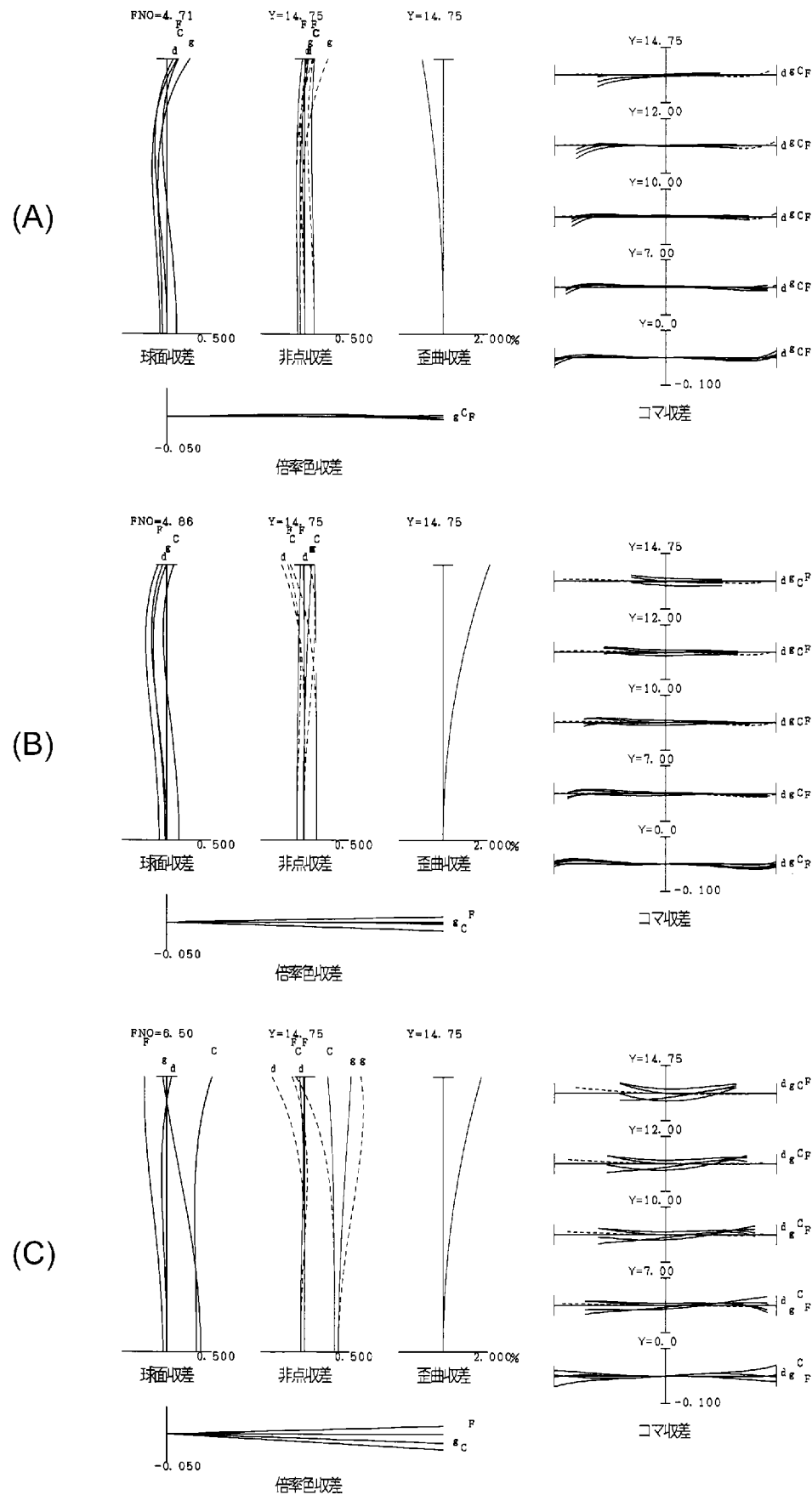
[図6]



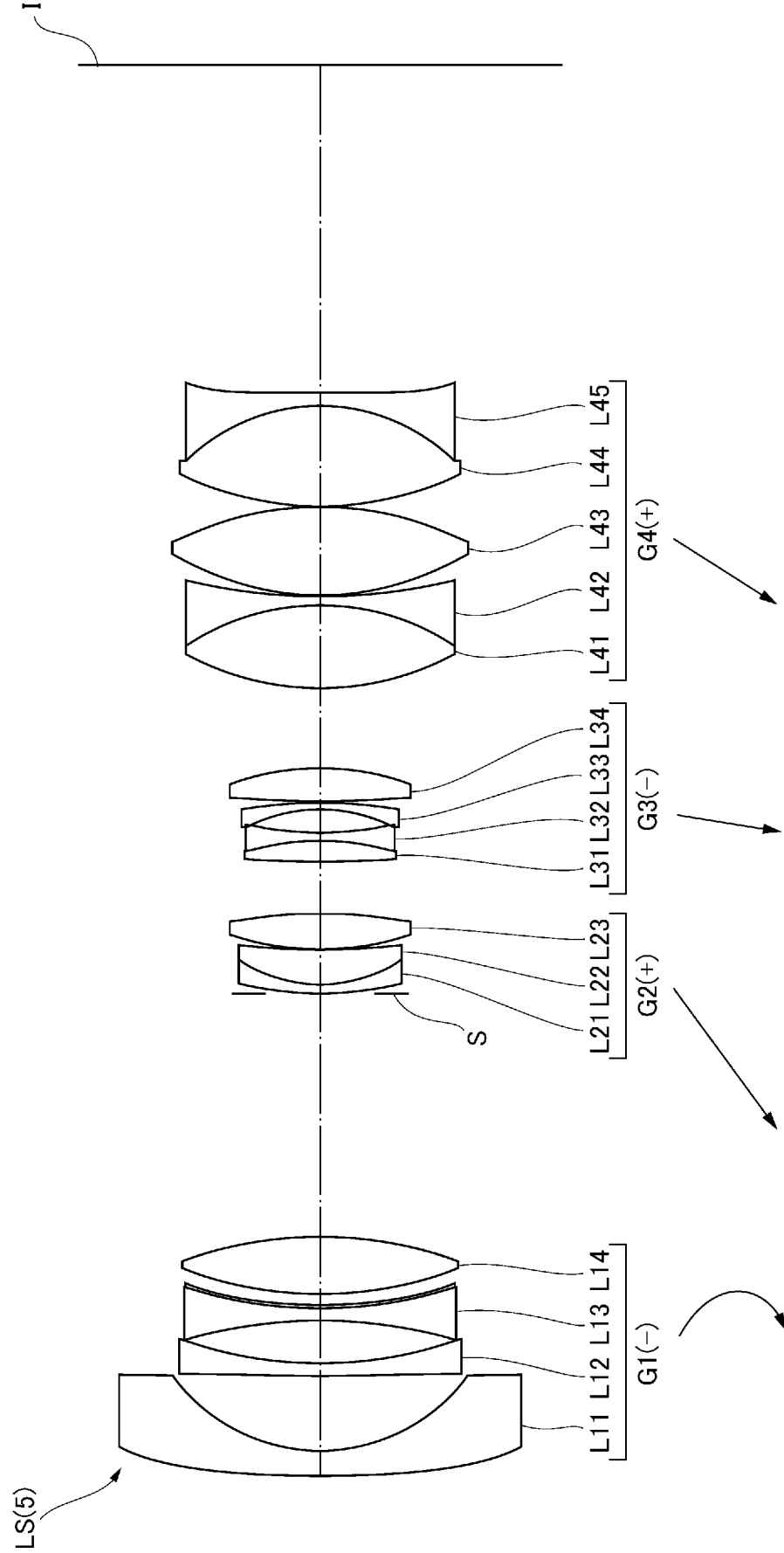
[図7]



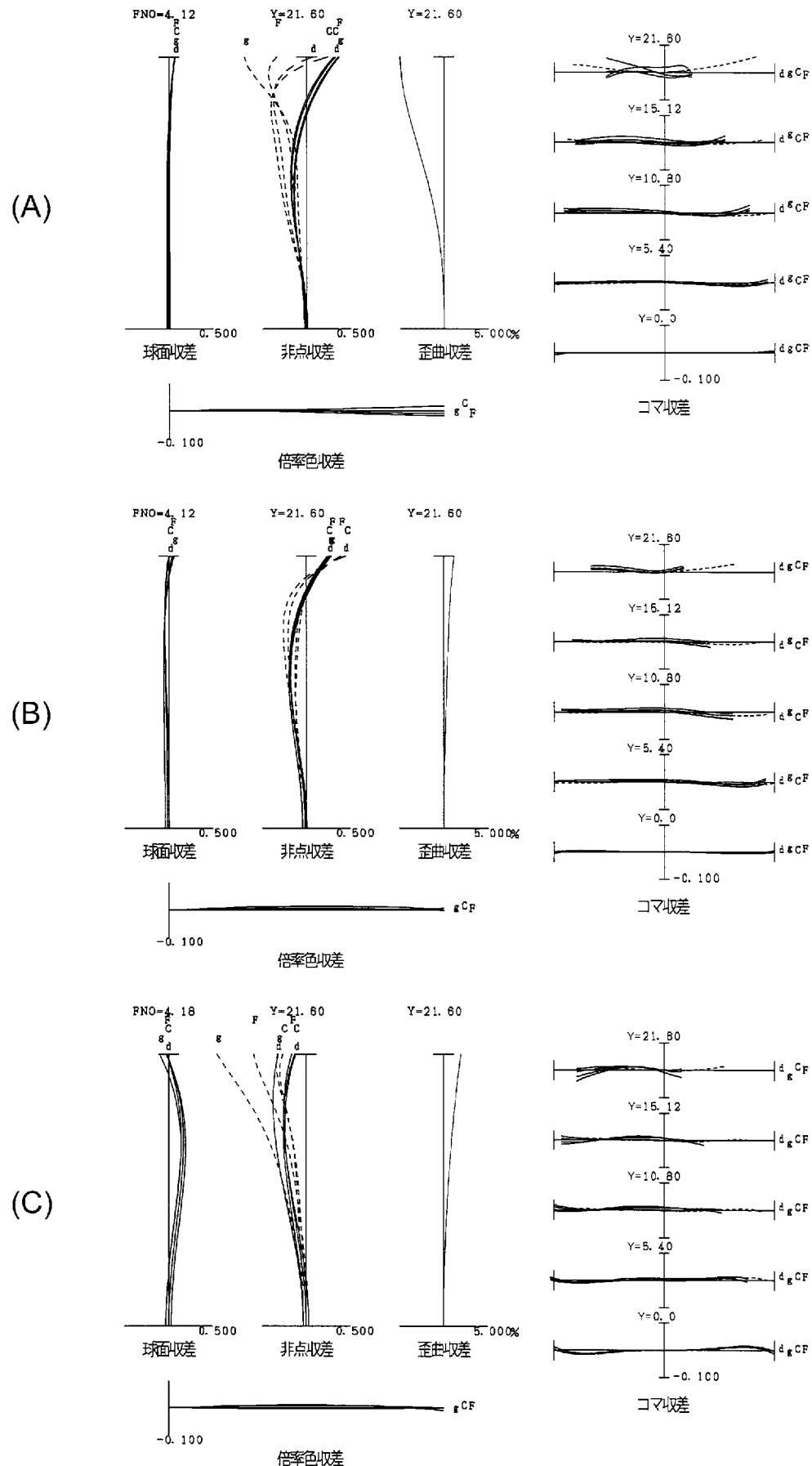
[図8]



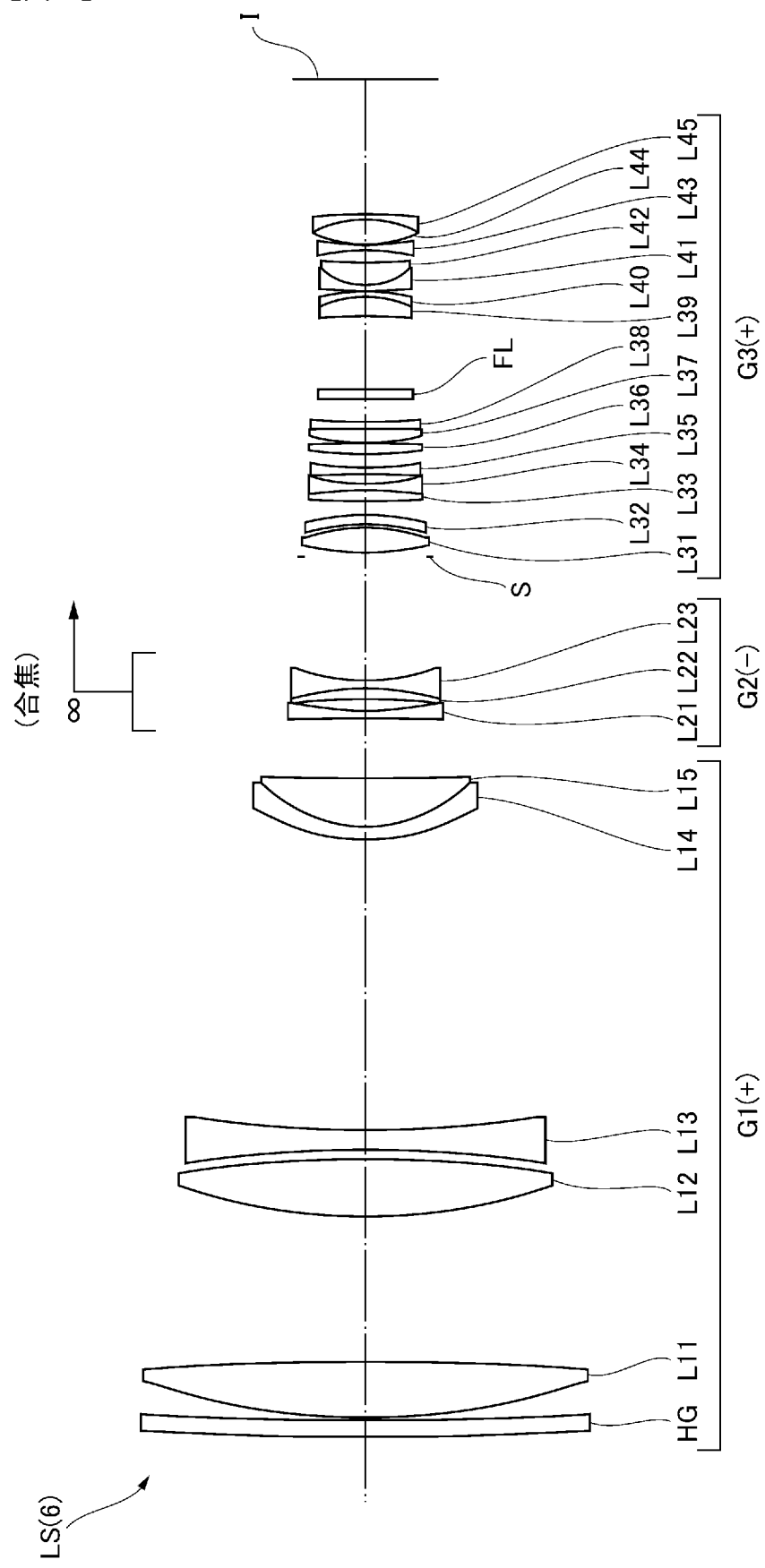
[図9]



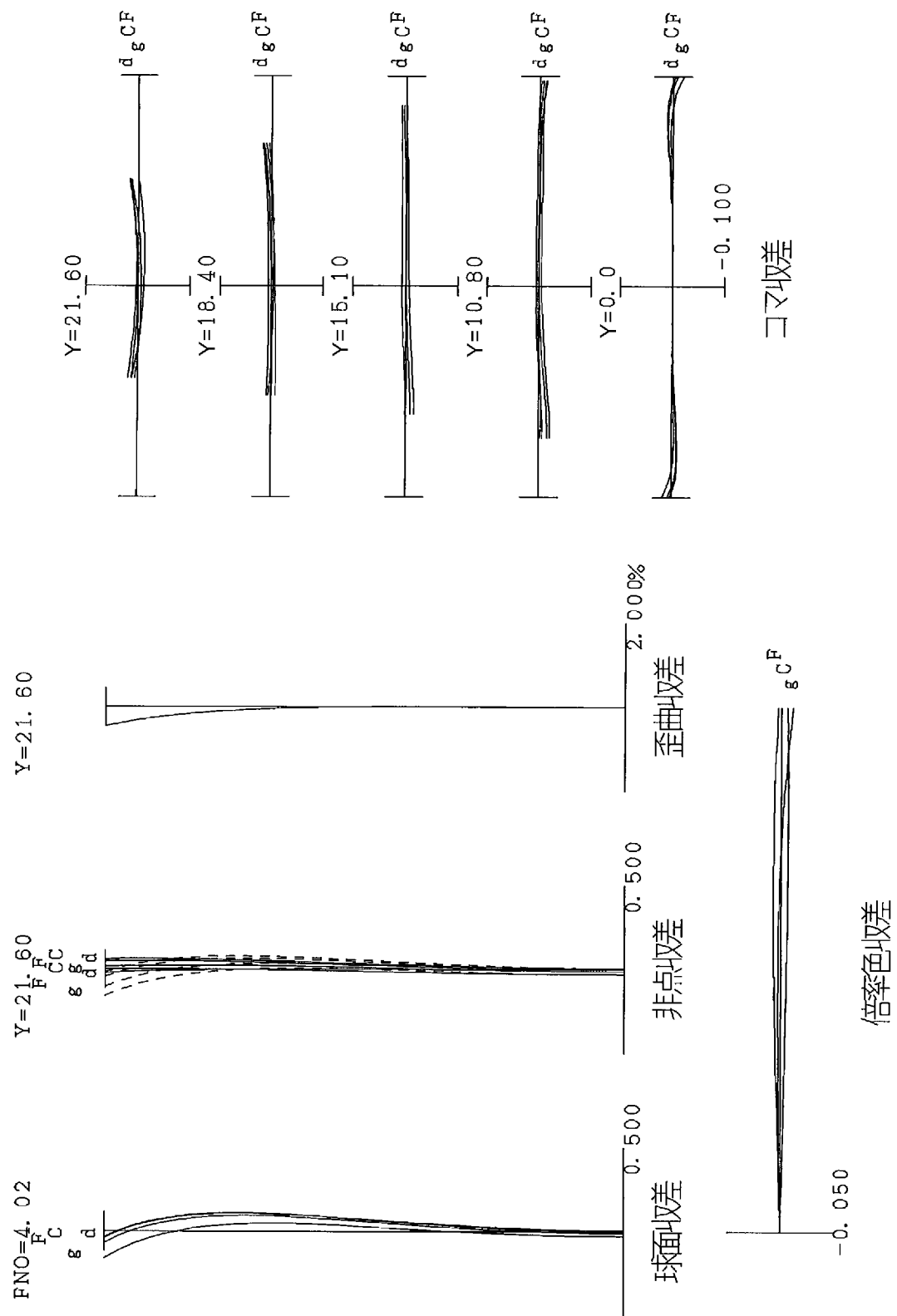
[図10]



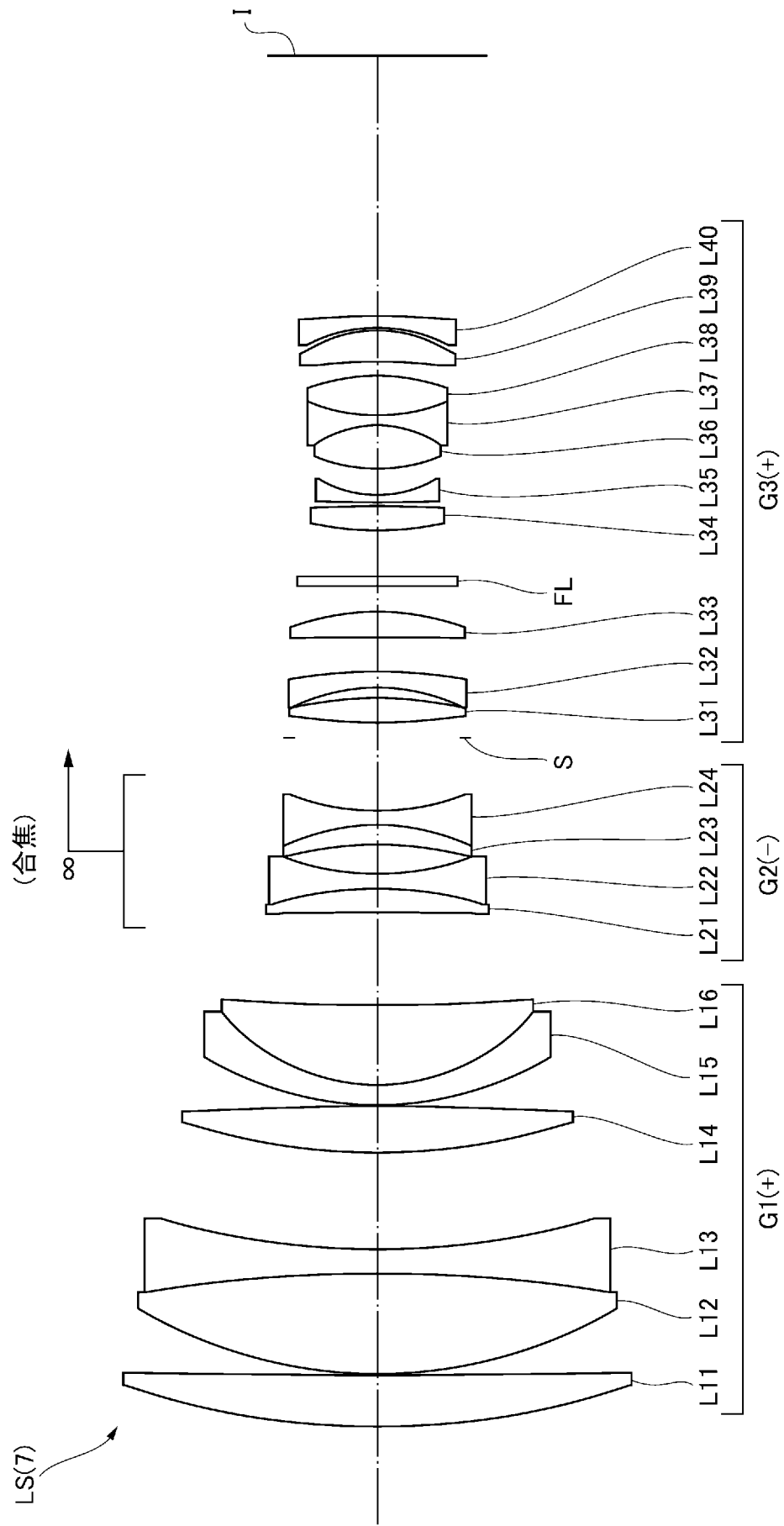
[図11]



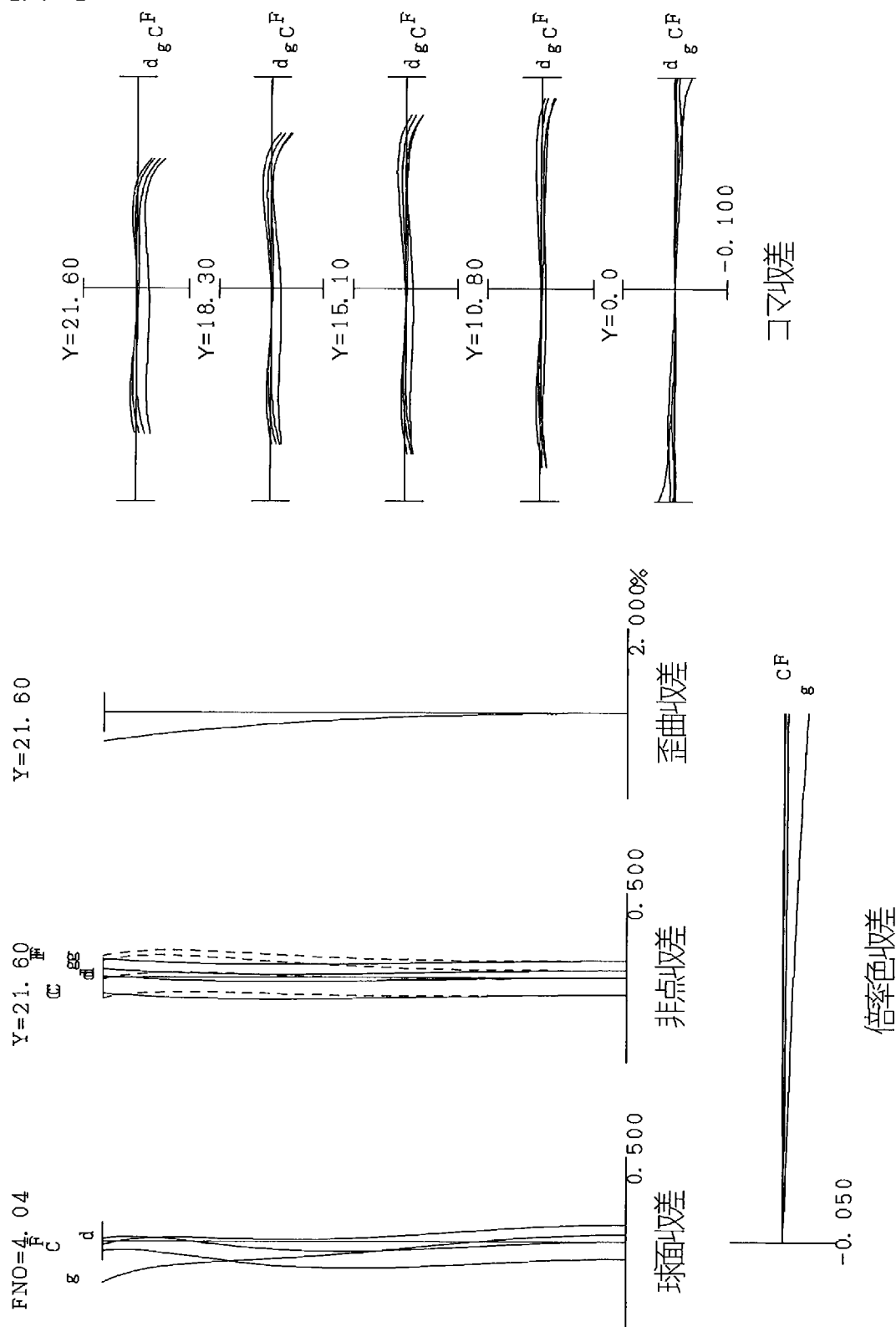
[図12]



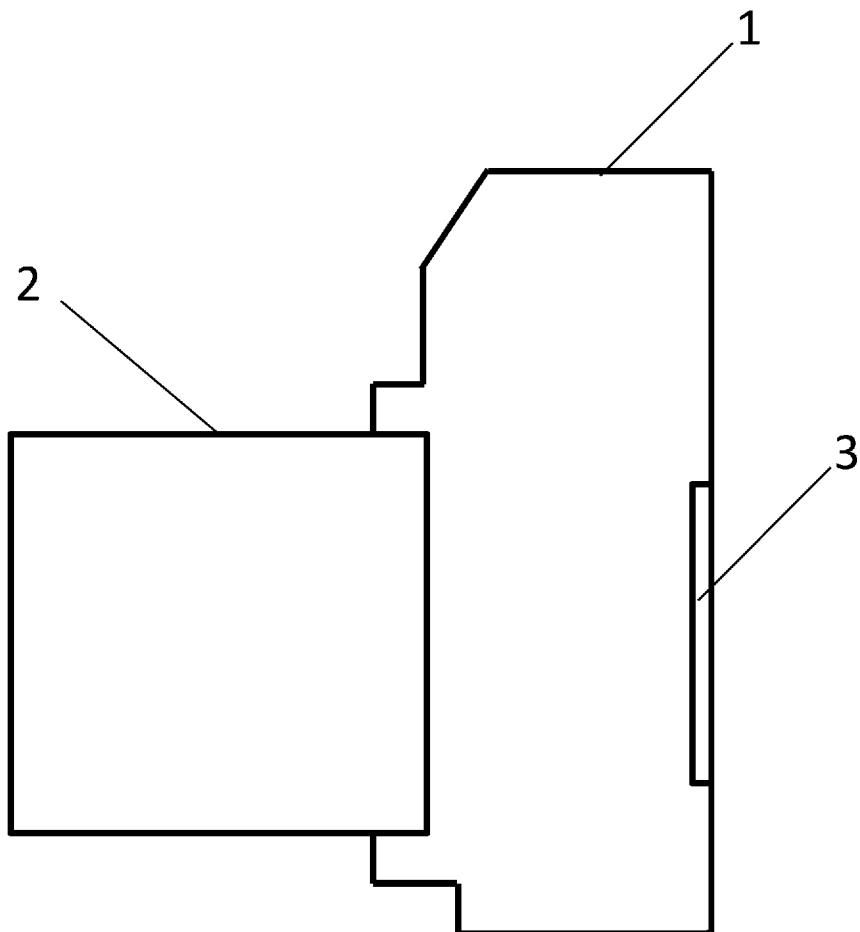
[図13]



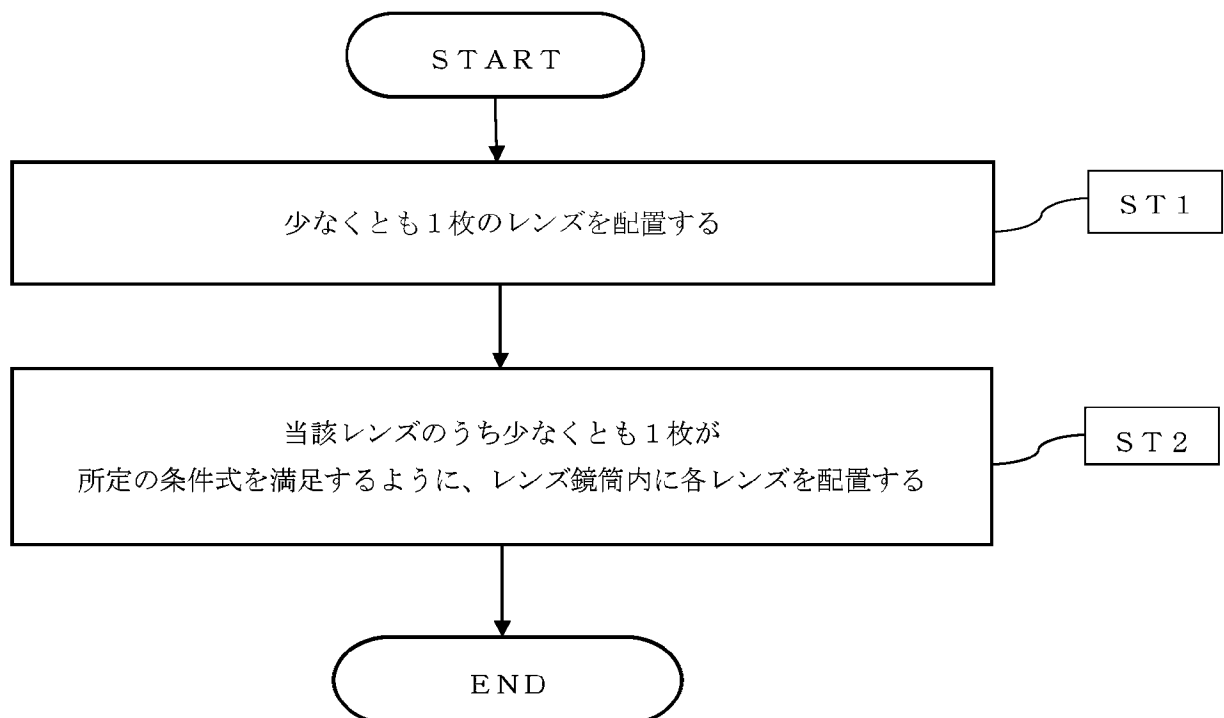
[図14]



[図15]



[図16]



## INTERNATIONAL SEARCH REPORT

International application No.

PCT/JP2017/045187

### A. CLASSIFICATION OF SUBJECT MATTER

Int.Cl. G02B13/00 (2006.01)i, G02B13/02 (2006.01)i, G02B13/04 (2006.01)i, G02B15/20 (2006.01)i

According to International Patent Classification (IPC) or to both national classification and IPC

### B. FIELDS SEARCHED

Minimum documentation searched (classification system followed by classification symbols)

Int.Cl. G02B9/00-17/08, G02B21/02-21/04, G02B25/00-25/04

Documentation searched other than minimum documentation to the extent that such documents are included in the fields searched

|  |           |
|--|-----------|
| Published examined utility model applications of Japan   | 1922-1996 |
| Published unexamined utility model applications of Japan | 1971-2018 |
| Registered utility model specifications of Japan         | 1996-2018 |
| Published registered utility model applications of Japan | 1994-2018 |

Electronic data base consulted during the international search (name of data base and, where practicable, search terms used)

### C. DOCUMENTS CONSIDERED TO BE RELEVANT

| Category* | Citation of document, with indication, where appropriate, of the relevant passages  | Relevant to claim No.        |
|-----------|---|------------------------------|
| X         | JP 2006-301508 A (CANON INC.) 02 November 2006, examples 1-4 & JP 4756901 B2  | 1-21                         |
| X<br>A    | JP 2007-25653 A (CANON INC.) 01 February 2007, numerical examples 1-12 & US 2006/0285227 A1, numerical examples 1-12 & US 7312935 B2 & JP 4956062 B2            | 1-9, 11-21<br>10             |
| X<br>A    | JP 2006-349948 A (CANON INC.) 28 December 2006, numerical examples 1-3, 5, 6 & US 2006/0285229 A1, numerical examples 1-3, 5, 6 & US 7164544 B2 & JP 4776988 B2 | 1-6, 8-12, 17-21<br>7, 13-16 |



Further documents are listed in the continuation of Box C.



See patent family annex.

|   |  |
|---|--|
| * Special categories of cited documents:  |  |
| "A" document defining the general state of the art which is not considered to be of particular relevance  | "T" later document published after the international filing date or priority date and not in conflict with the application but cited to understand the principle or theory underlying the invention  |
| "E" earlier application or patent but published on or after the international filing date   | "X" document of particular relevance; the claimed invention cannot be considered novel or cannot be considered to involve an inventive step when the document is taken alone   |
| "L" document which may throw doubts on priority claim(s) or which is cited to establish the publication date of another citation or other special reason (as specified) | "Y" document of particular relevance; the claimed invention cannot be considered to involve an inventive step when the document is combined with one or more other such documents, such combination being obvious to a person skilled in the art |
| "O" document referring to an oral disclosure, use, exhibition or other means  | "&" document member of the same patent family  |
| "P" document published prior to the international filing date but later than the priority date claimed  |  |

Date of the actual completion of the international search  
07.03.2018

Date of mailing of the international search report  
20.03.2018

Name and mailing address of the ISA/  
Japan Patent Office  
3-4-3, Kasumigaseki, Chiyoda-ku,  
Tokyo 100-8915, Japan

Authorized officer  
Telephone No.

**INTERNATIONAL SEARCH REPORT**

International application No.

PCT/JP2017/045187

**C (Continuation). DOCUMENTS CONSIDERED TO BE RELEVANT**

| Category* | Citation of document, with indication, where appropriate, of the relevant passages                          | Relevant to claim No.            |
|-----------|---|----------------------------------|
| X         | JP 2009-280724 A (OLYMPUS CORPORATION) 03 December 2009, examples 1-6<br>(Family: none)                     | 1-21                             |
| X         | JP 2017-190280 A (OHARA INC.) 19 October 2017,<br>examples 1-27, particularly, example 17<br>(Family: none) | 1-6, 8-11, 17-<br>21<br>7, 12-16 |
| A         |   |                                  |

## A. 発明の属する分野の分類（国際特許分類（IPC））

Int.Cl. G02B13/00(2006.01)i, G02B13/02(2006.01)i, G02B13/04(2006.01)i, G02B15/20(2006.01)i

## B. 調査を行った分野

## 調査を行った最小限資料（国際特許分類（IPC））

Int.Cl. G02B9/00-17/08, G02B21/02-21/04, G02B25/00-25/04

## 最小限資料以外の資料で調査を行った分野に含まれるもの

|             |            |
|-------------|------------|
| 日本国実用新案公報   | 1922-1996年 |
| 日本国公開実用新案公報 | 1971-2018年 |
| 日本国実用新案登録公報 | 1996-2018年 |
| 日本国登録実用新案公報 | 1994-2018年 |

## 国際調査で使用した電子データベース（データベースの名称、調査に使用した用語）

## C. 関連すると認められる文献

| 引用文献の<br>カテゴリー* | 引用文献名 及び一部の箇所が関連するときは、その関連する箇所の表示  | 関連する<br>請求項の番号   |
|-----------------|--|------------------|
| X               | JP 2006-301508 A (キヤノン株式会社) 2006.11.02, 実施例1-実施例4 & JP 4756901 B2  | 1-21             |
| X<br>A          | JP 2007-25653 A (キヤノン株式会社) 2007.02.01, 数値実施例1-数値実施例12 & US 2006/0285227 A1、Numerical Examples 1-12 & US 7312935 B2 & JP 4956062 B2 | 1-9, 11-21<br>10 |
| X               | JP 2006-349948 A (キヤノン株式会社) 2006.12.28, 数値実施例1-数値実施例3、数値実施例5-数値実施例6 & US 2006/0285229 A1、  | 1-6, 8-12, 17-21 |

※ C欄の続きにも文献が列挙されている。

□ パテントファミリーに関する別紙を参照。

## \* 引用文献のカテゴリー

- 「A」特に関連のある文献ではなく、一般的技術水準を示すもの
- 「E」国際出願日前の出願または特許であるが、国際出願日以後に公表されたもの
- 「L」優先権主張に疑義を提起する文献又は他の文献の発行日若しくは他の特別な理由を確立するために引用する文献（理由を付す）
- 「O」口頭による開示、使用、展示等に言及する文献
- 「P」国際出願日前で、かつ優先権の主張の基礎となる出願

## の日の後に公表された文献

「T」国際出願日又は優先日後に公表された文献であって出願と矛盾するものではなく、発明の原理又は理論の理解のために引用するもの

「X」特に関連のある文献であって、当該文献のみで発明の新規性又は進歩性がないと考えられるもの

「Y」特に関連のある文献であって、当該文献と他の1以上の文献との、当業者にとって自明である組合せによって進歩性がないと考えられるもの

「&」同一パテントファミリー文献

|  |  |
|--|--|
| 国際調査を完了した日<br>07.03.2018   | 国際調査報告の発送日<br>20.03.2018   |
| 国際調査機関の名称及びあて先<br>日本国特許庁 (I S A / J P)<br>郵便番号 100-8915<br>東京都千代田区霞が関三丁目4番3号 | 特許庁審査官（権限のある職員）<br>森内 正明<br>電話番号 03-3581-1101 内線 3271<br>2V 9222 |

| C (続き) . 関連すると認められる文献 |   |                  |
|-----------------------|---|------------------|
| 引用文献の<br>カテゴリー*       | 引用文献名 及び一部の箇所が関連するときは、その関連する箇所の表示   | 関連する<br>請求項の番号   |
| A                     | Numerical Examples 1-3, 5-6 & US 7164544 B2 & JP 4776988 B2               | 7, 13-16         |
| X                     | JP 2009-280724 A (オリンパス株式会社) 2009. 12. 03, 実施例 1-実施例 6 (ファミリーなし)          | 1-21             |
| X                     | JP 2017-190280 A (株式会社オハラ) 2017. 10. 19, 実施例 1-実施例 27、特に、実施例 17 (ファミリーなし) | 1-6, 8-11, 17-21 |
| A                     |   | 7, 12-16         |